

Université de Provence
UFR Civilisations et Humanités
Département d'Histoire de l'Art et d'Archéologie
Laboratoire Méditerranéen de Préhistoire Europe-Afrique (LAMPEA)
UMR 6636

LES DOLMENS A SECTION TRAPEZOÏDALE DES CAUSSES ET DES GORGES DE L'HERAULT :

APPROCHE COMPARATIVE DES ARCHITECTURES ET DES MOBILIERS

Second volume : Illustrations



Mémoire de Master 2

Mémoire présenté par
Florent CHATEAUNEUF

Sous la direction de M. Maxence Bailly
Suivi scientifique assuré par M. Paul Ambert

2009 / 2010

Université de Provence
UFR Civilisations et Humanités
Département d'Histoire de l'Art et d'Archéologie
Laboratoire Méditerranéen de Préhistoire Europe-Afrique (LAMPEA)
UMR 6636

LES DOLMENS A SECTION TRAPEZOÏDALE DES CAUSSES ET DES GORGES DE L'HERAULT :

APPROCHE COMPARATIVE DES ARCHITECTURES ET DES MOBILIERS

Second volume : Illustrations

Mémoire de Master 2

Mémoire présenté par
Florent CHATEAUNEUF

Sous la direction de M. Maxence Bailly
Suivi scientifique assuré par M. Paul Ambert

2009 / 2010

FIGURES

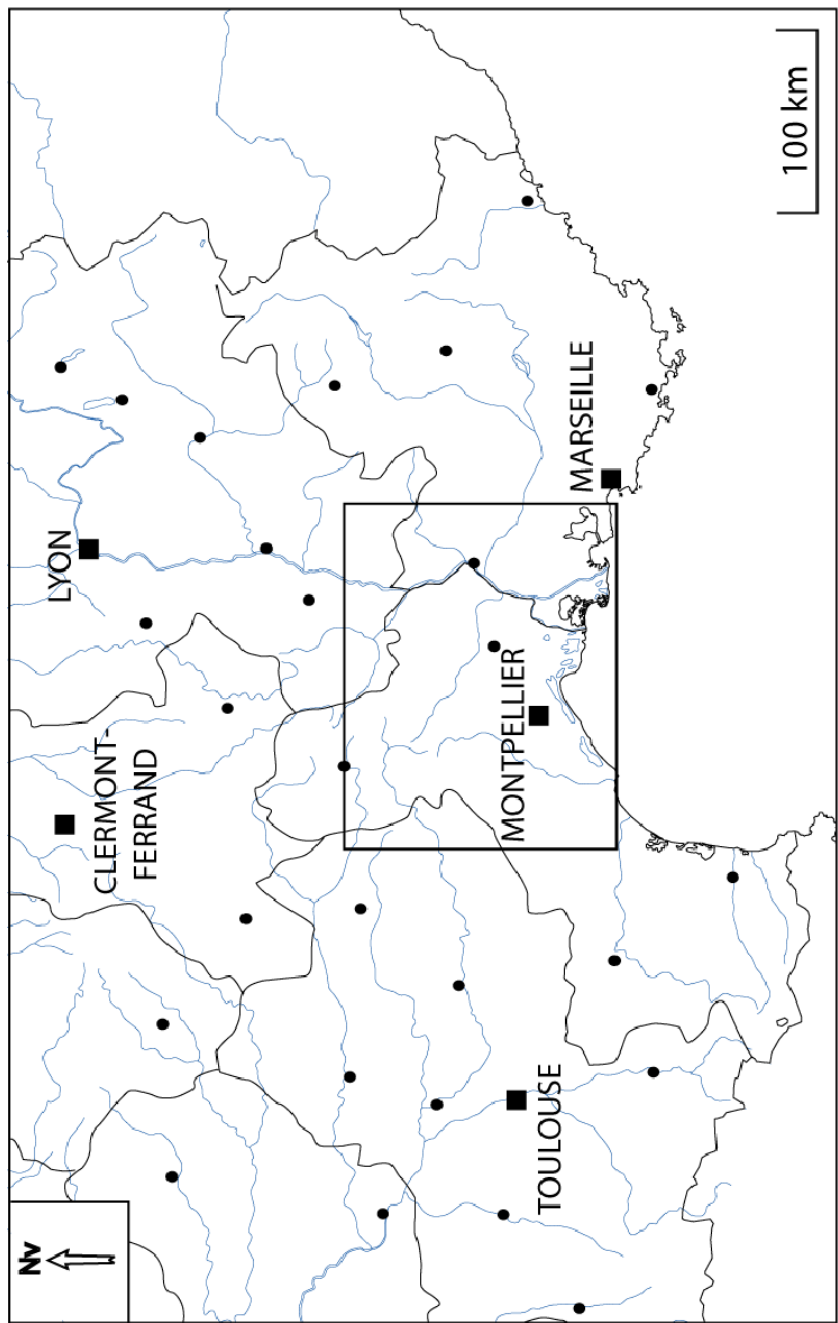


Fig. 1 – Carte générale du Sud de la France : l'encadré noir situe le cadre géographique élargi de cette étude, le Languedoc et la Provence occidentale.

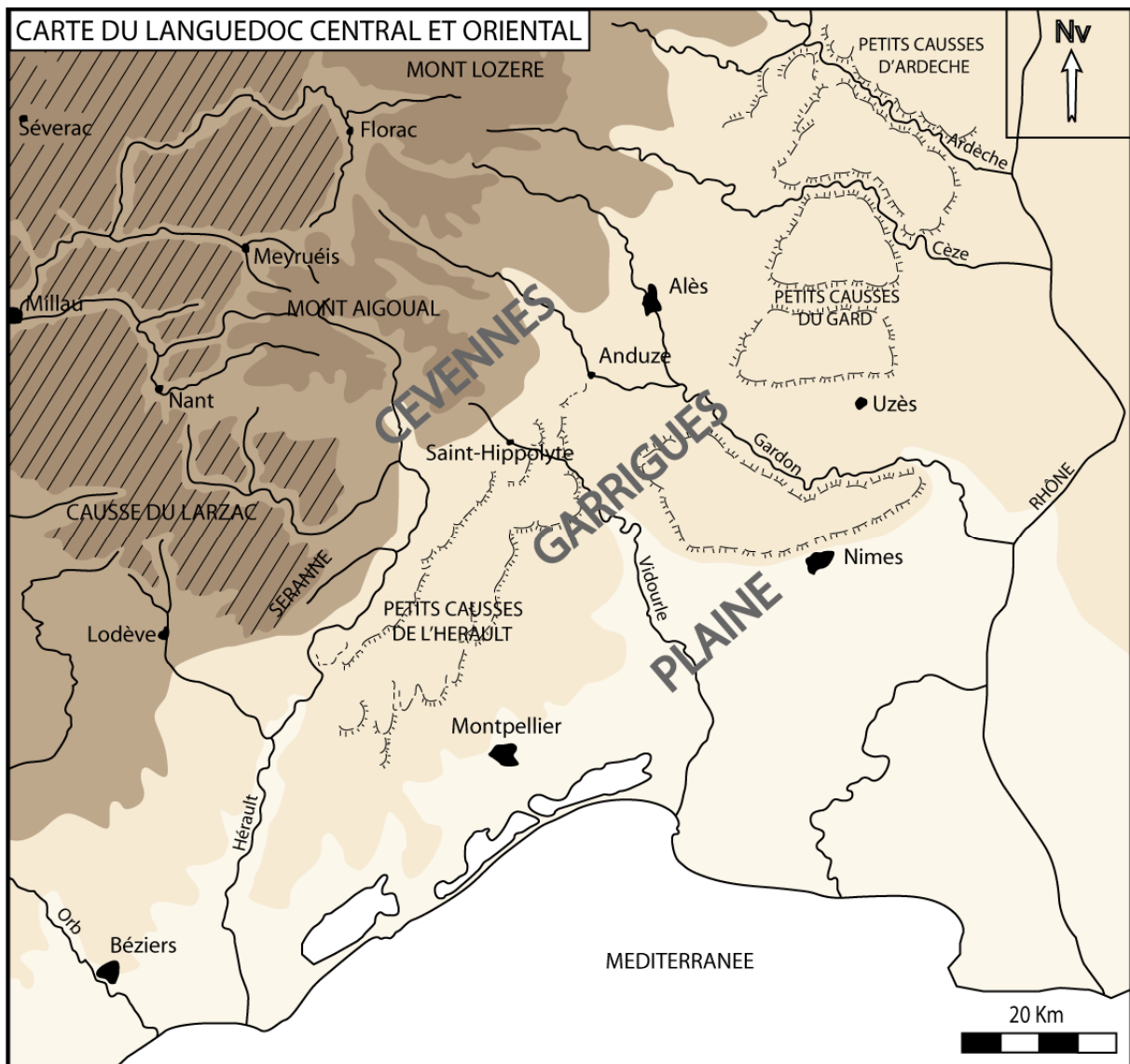


Fig. 2 – Carte générale du Languedoc central et oriental montrant les principaux reliefs de la région et leur étagement.

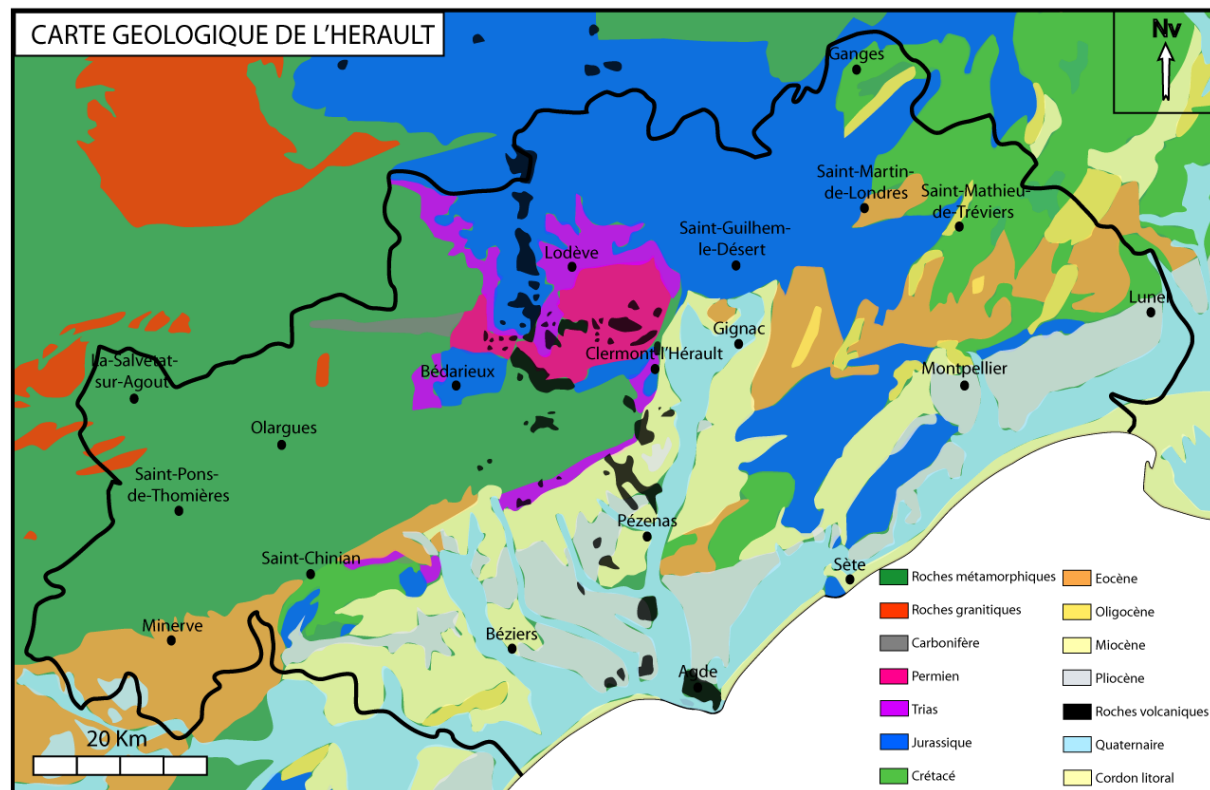


Fig. 3 – Carte géologique du département de l'Hérault et des territoires limitrophes. Les dolmens étudiés se situent principalement dans les zones calcaires du Jurassique (d'après B.R.G.M.).

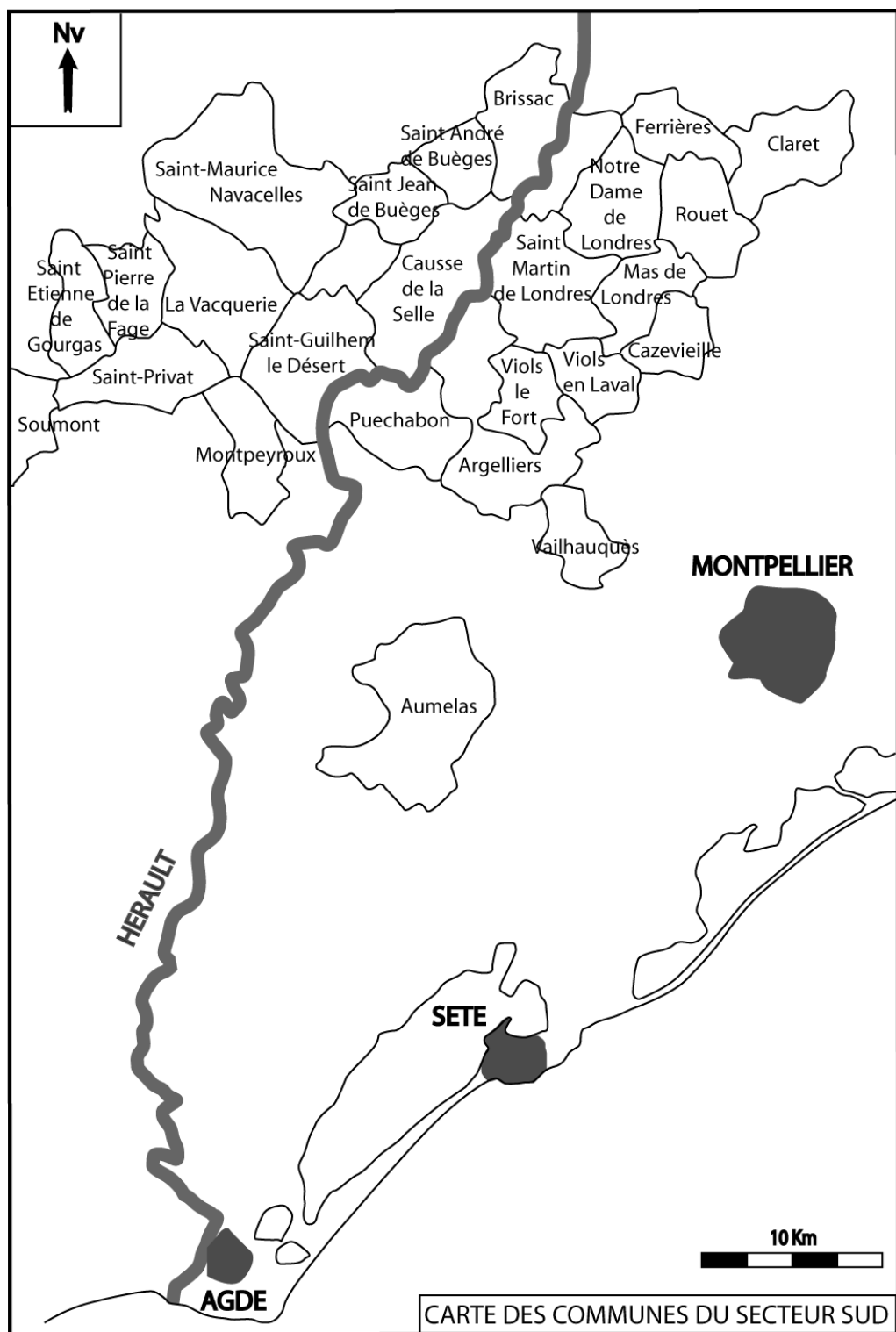


Fig. 4 – Carte de localisation des communes mentionnées dans cette étude des dolmens de l'Est héraultais et principales agglomérations voisines (secteur Sud).

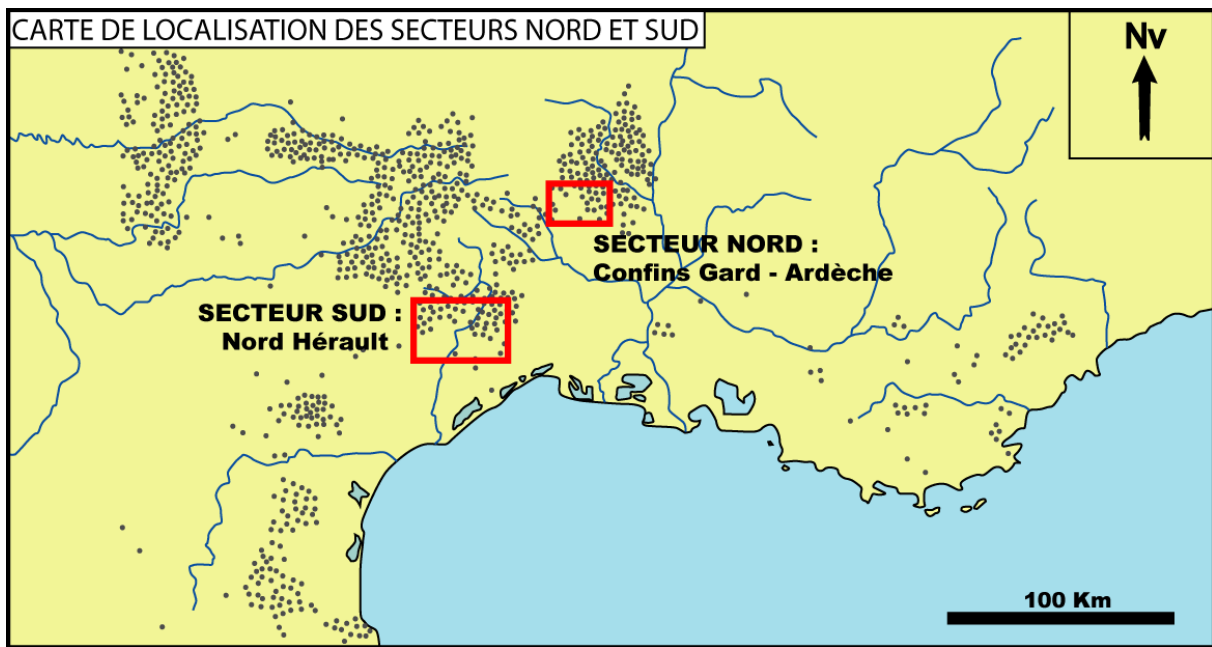


Fig. 5 – Carte de localisation des deux principaux secteurs de recherche ; la zone des confins du Gard et de l'Ardèche (secteur Nord) et la zone du Nord-est héraultais (secteur Sud).

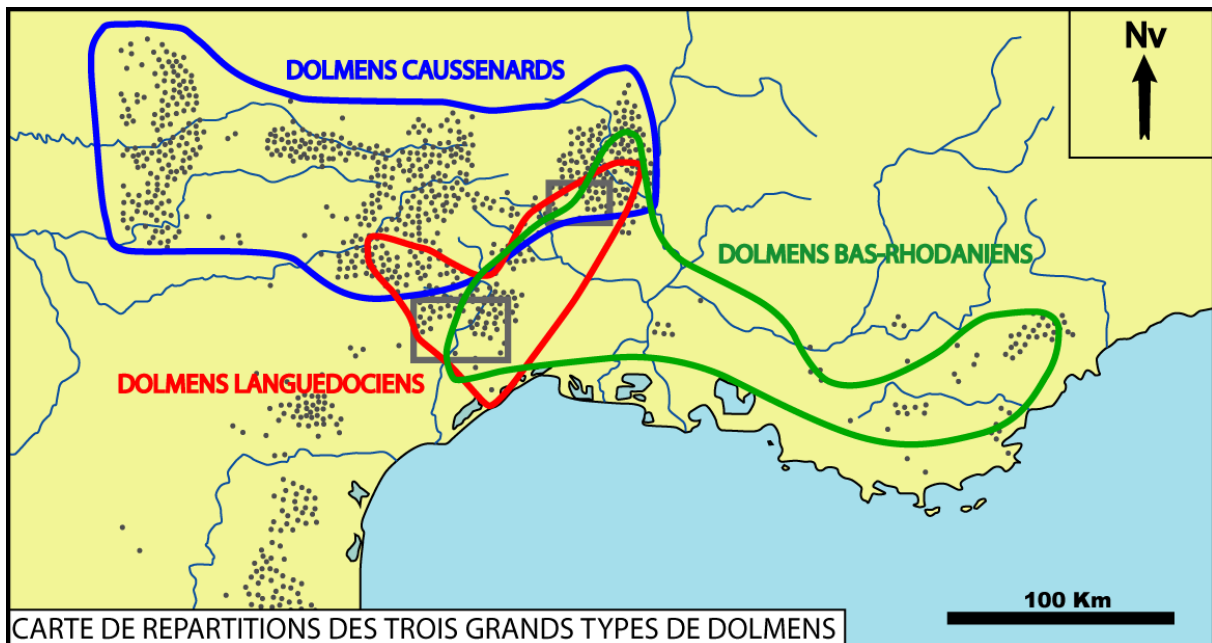


Fig. 6 – Carte de répartition des trois grands types de sépultures mégalithiques définis par Y. Chevalier en 1984 et localisation des deux secteurs de recherche (rectangles en grisé). (D'après Chevalier 1984).

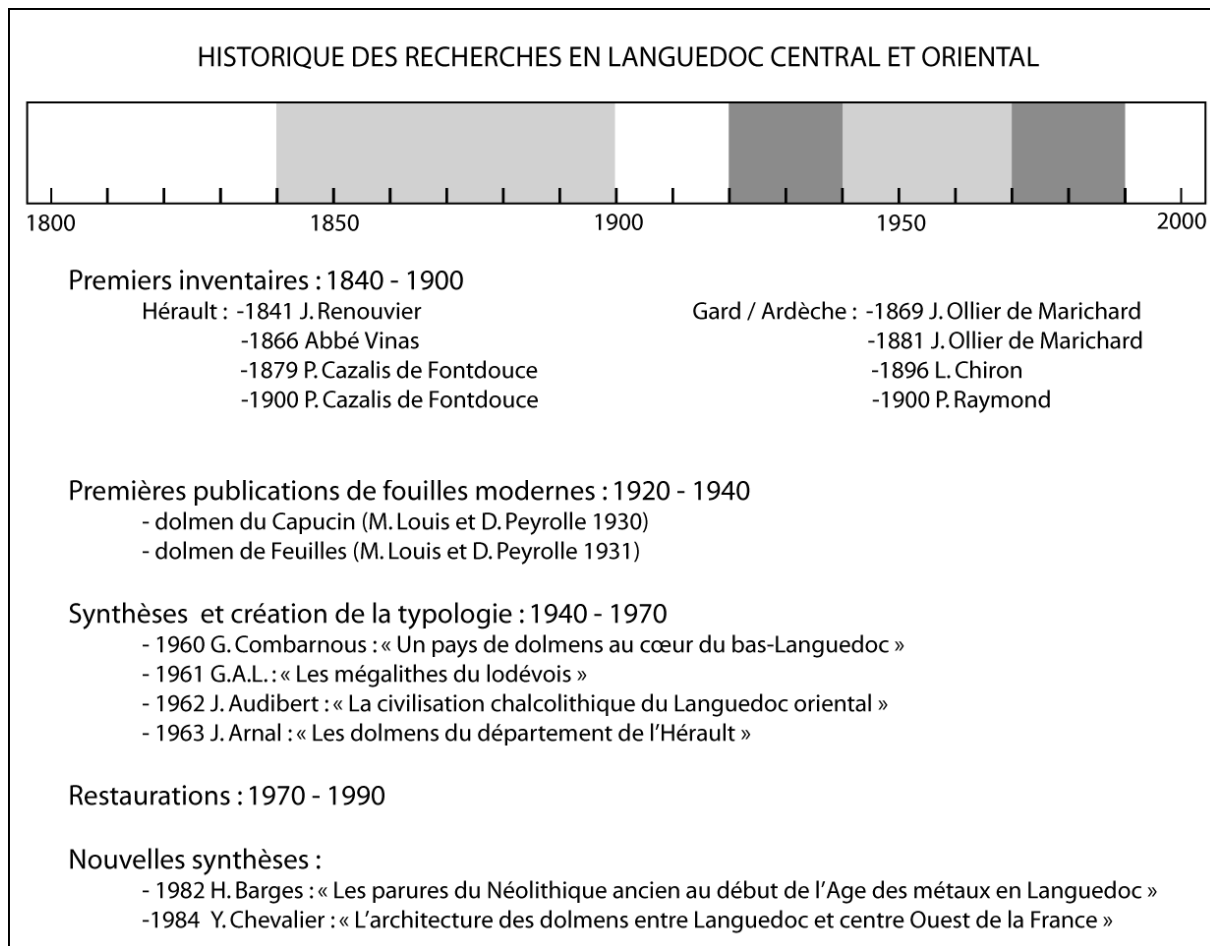


Fig. 7 – Historique des recherches concernant les sépultures collectives mégalithiques du Languedoc central et oriental ; depuis le 19^e siècle à nos jours.

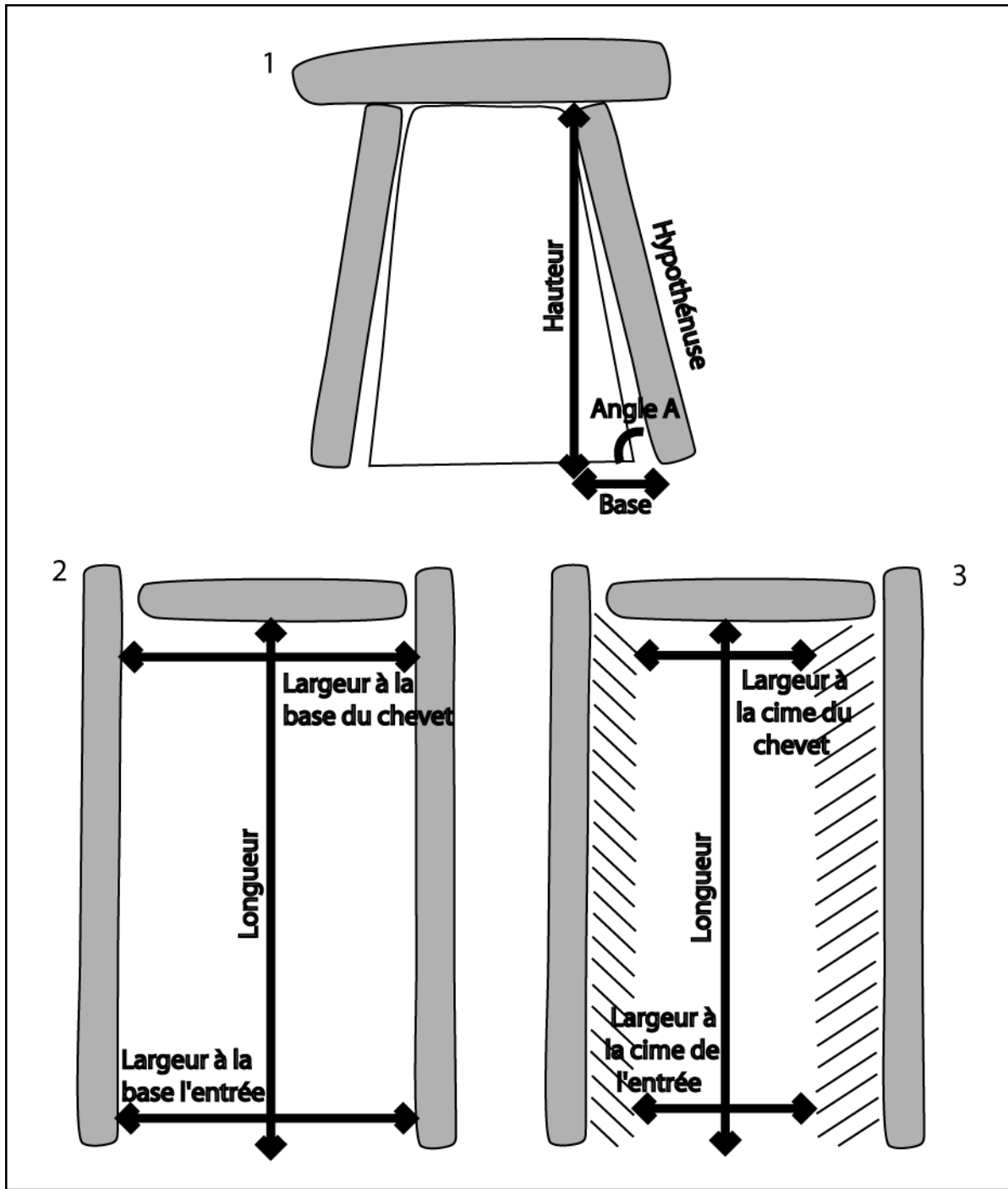


Fig. 8 – Description des différentes mesures prises sur les monuments visités, pour :

- 1. le calcul de l'inclinaison des parois latérales de la sépulture.**
- 2. le calcul de la surface utile aux inhumations à la base visible des dalles.**
- 3. le calcul de la surface à couvrir à la cime des piliers du caveau.**

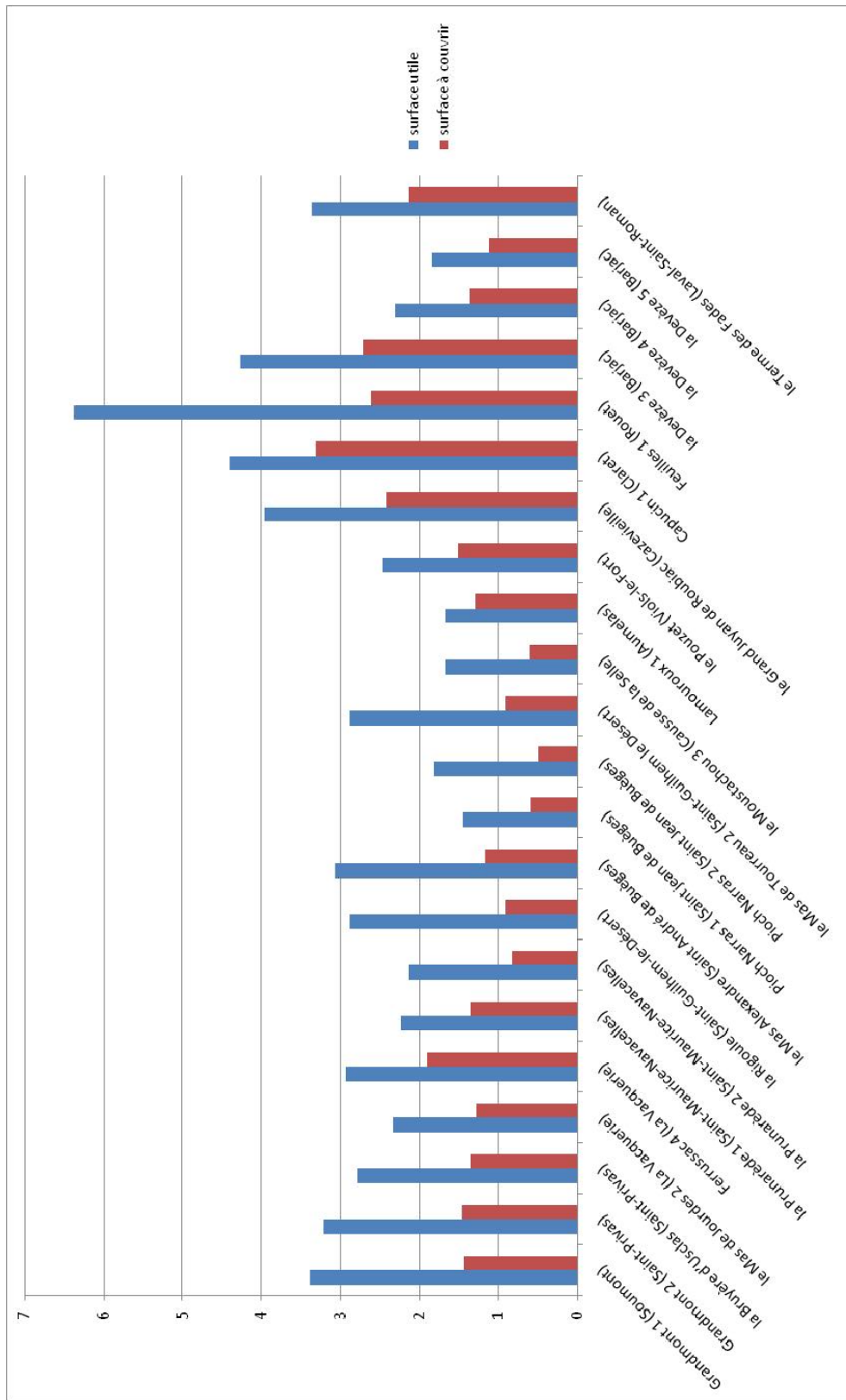


Fig. 9 – Ce graphique représente les différentes valeurs obtenues à l'issue du calcul de la surface utile et de la surface à couvrir de chacun des dolmens (d'après Tableau 1). L'axe des ordonnées donne la valeur en mètres carrés.

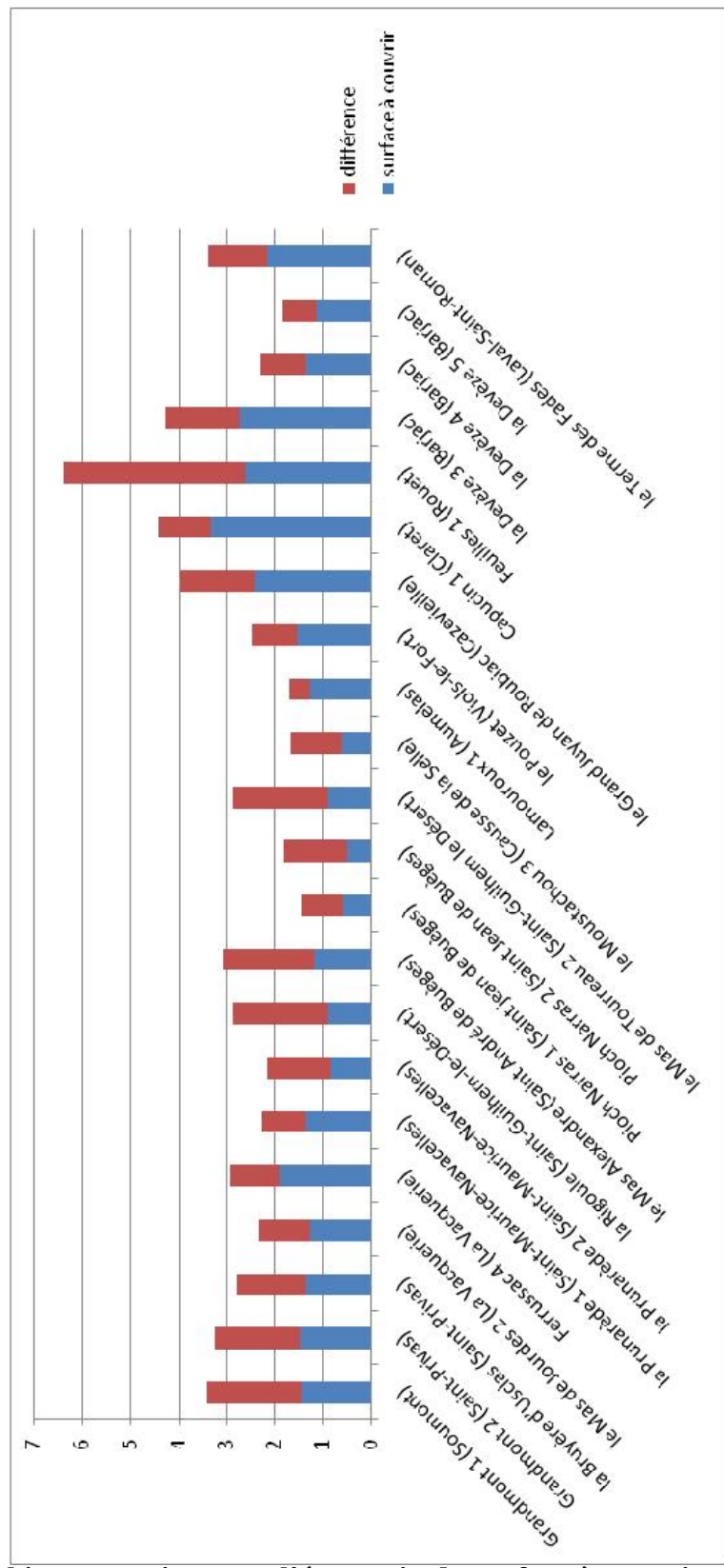


Fig. 10 – Ce graphique renseigne sur l'économie de surface à couvrir réalisée grâce à l'inclinaison des parois latérales. La somme des deux couleurs représente la surface utile aux inhumations (m^2) ; les bâtonnets bleus représentent la surface à couvrir (m^2) ; les bâtonnets rouge l'économie réalisée (m^2).

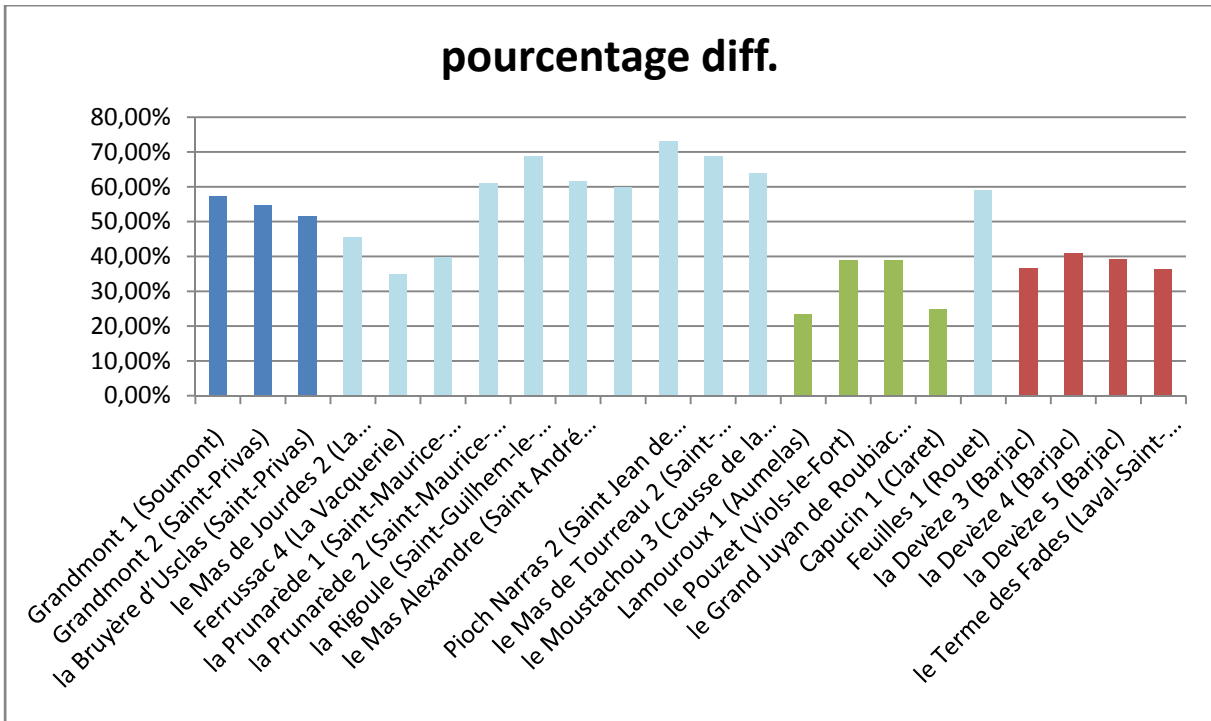


Fig. 11 – Cet autre graphique, associé à la Fig. 10, représente l'écart entre la surface utile aux inhumations et la surface à couvrir, en pourcentage de la surface utile. Les bâtonnets bleus foncés figurent les dolmens en grès du lodévois ; les bâtonnets rouges figurent les dolmens du Secteur Nord ; les bâtonnets verts figurent les dolmens pour lesquels l'érosion importante des dalles est manifeste ; les bâtonnets bleus foncés figurent les autres dolmens du secteur Sud.

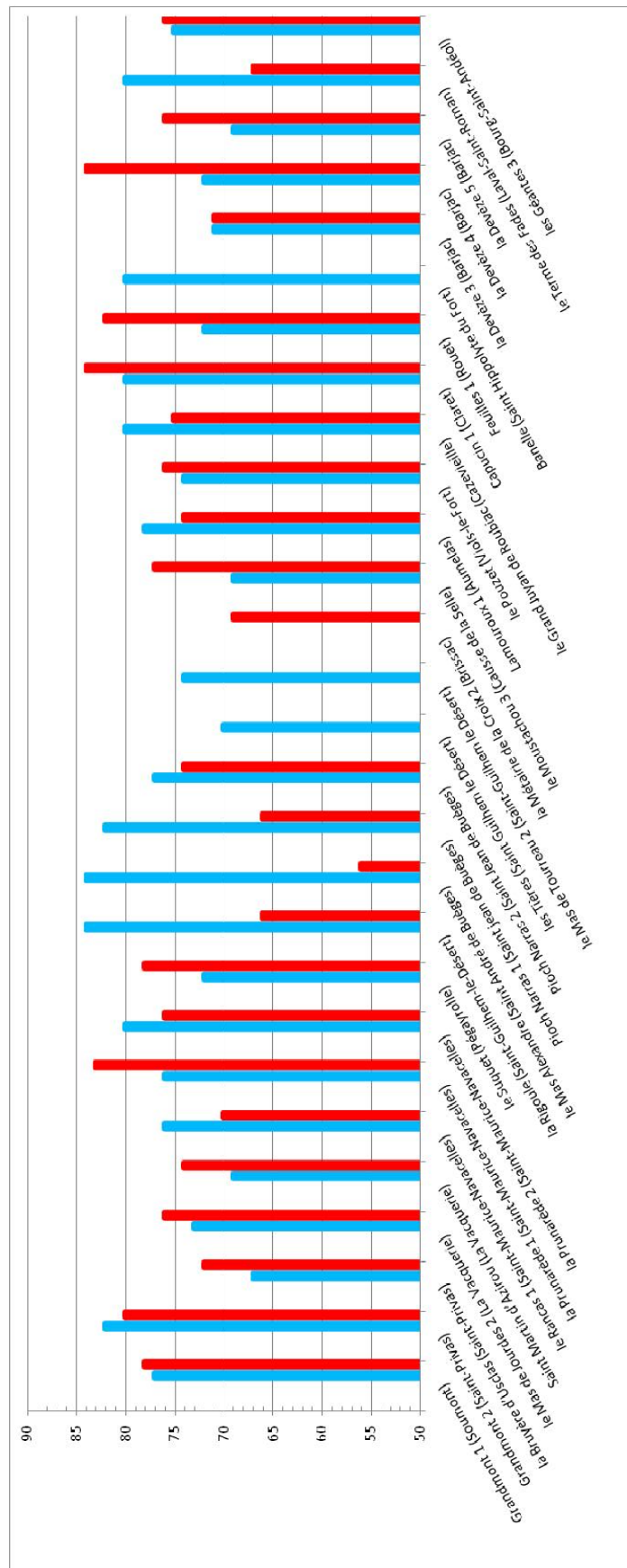


Fig. 12 – Ce graphique indique, en degrés (axe des ordonnées), l'inclinaison des deux parois de chacun des monuments recensés. Les bâtonnets bleus figurent l'angle A, ou dalle latérale droite ; les bâtonnets rouges figurent l'angle B, ou dalle latérale gauche.

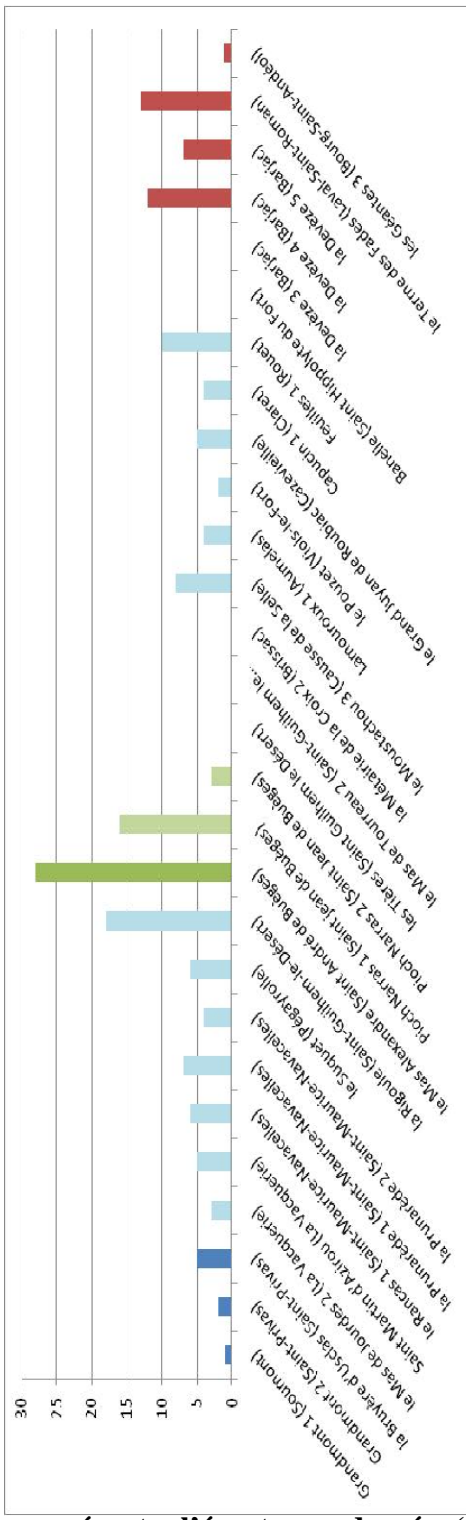


Fig. 13 – Ce diagramme représente l'écart, en degrés (axe des ordonnées), entre l'inclinaison des deux parois d'un même dolmen. Les bâtonnets bleus foncés figurent les dolmens en grès du lodévois ; les bâtonnets rouges figurent les dolmens du secteur Nord ; les bâtonnets verts figurent les dolmens de la Séranne ; les bâtonnets bleus clairs figurent les autres dolmens du secteur Sud.

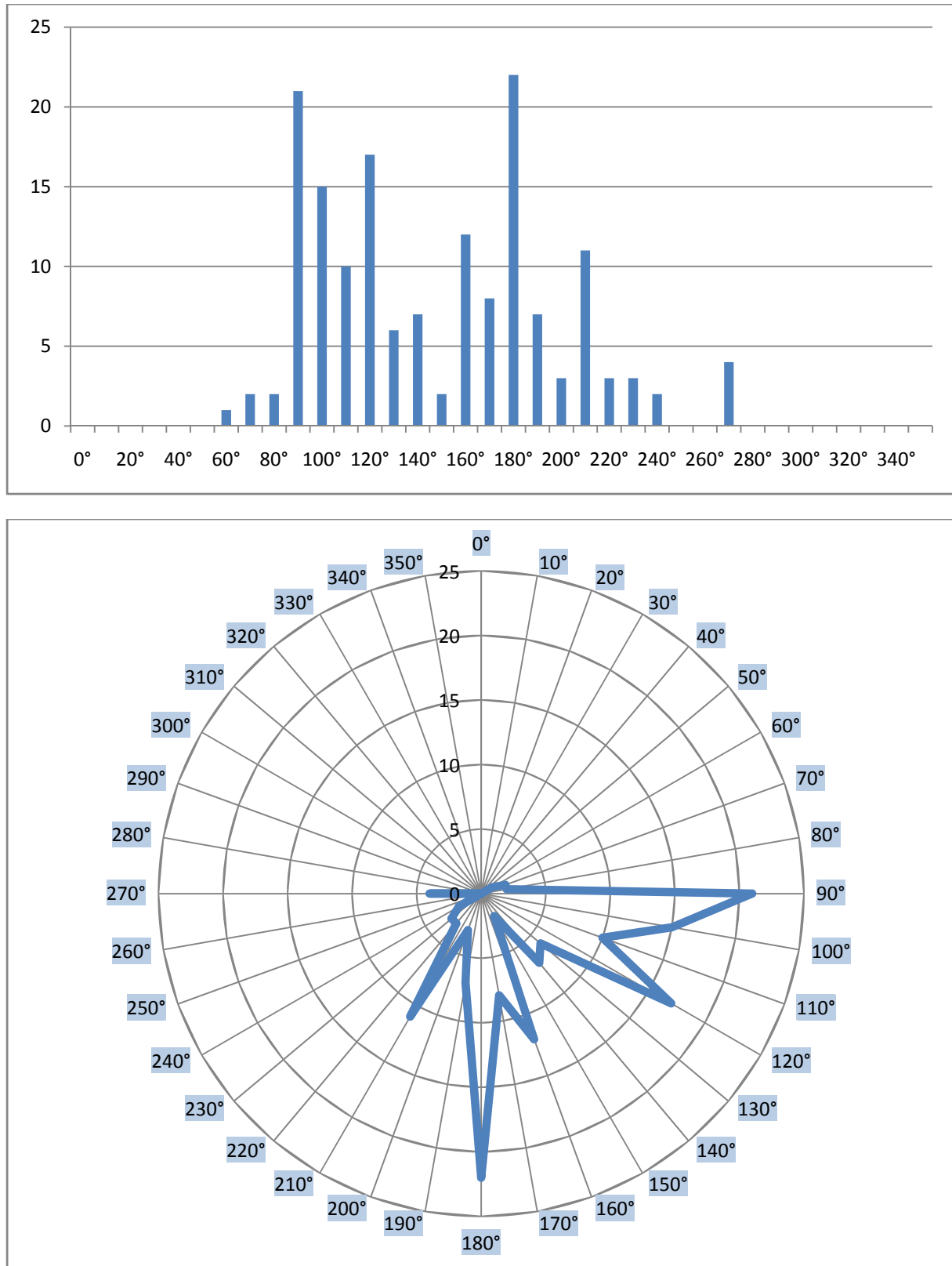
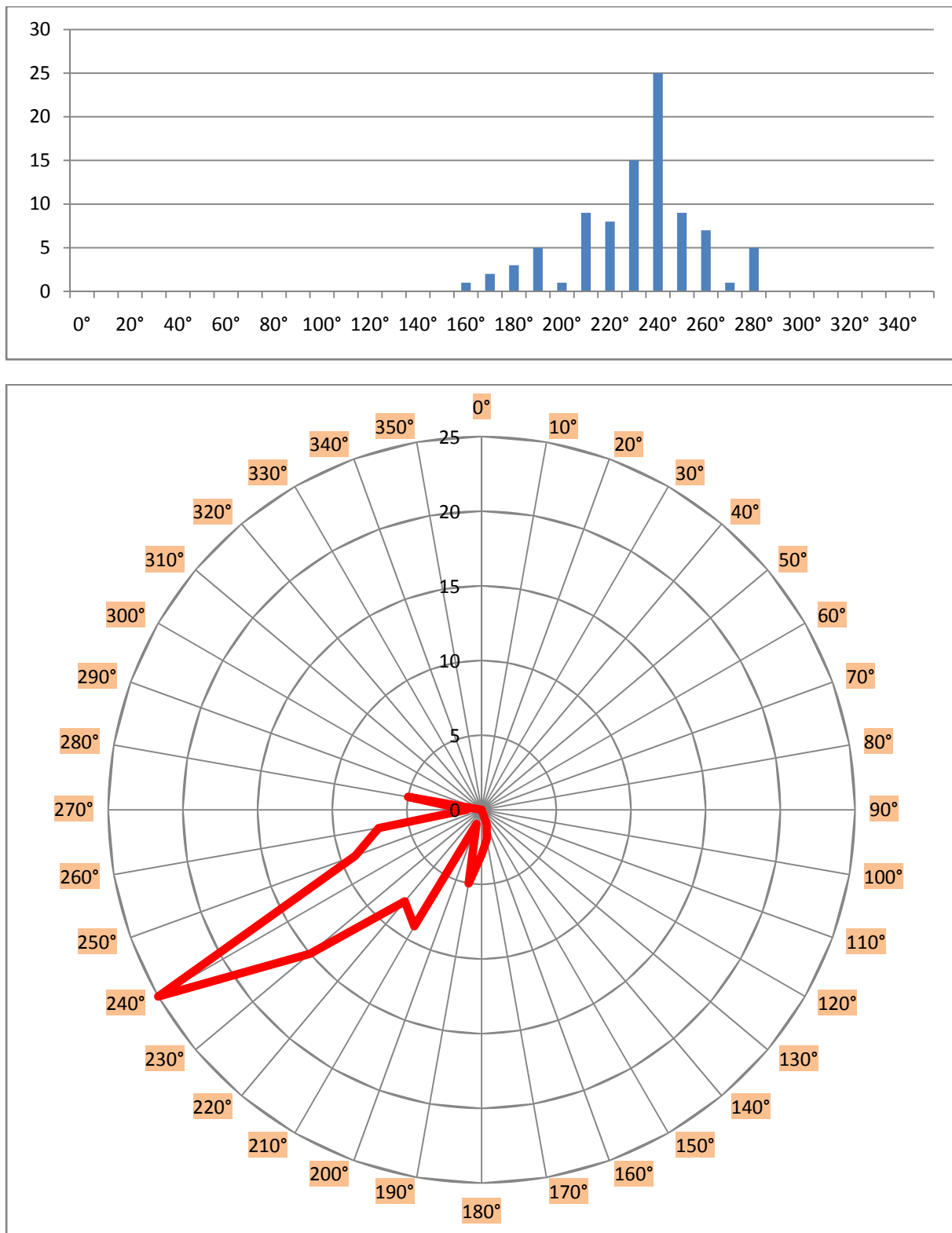


Fig. 14 – diagrammes de dispersion de l'orientation des dolmens du secteur Nord.



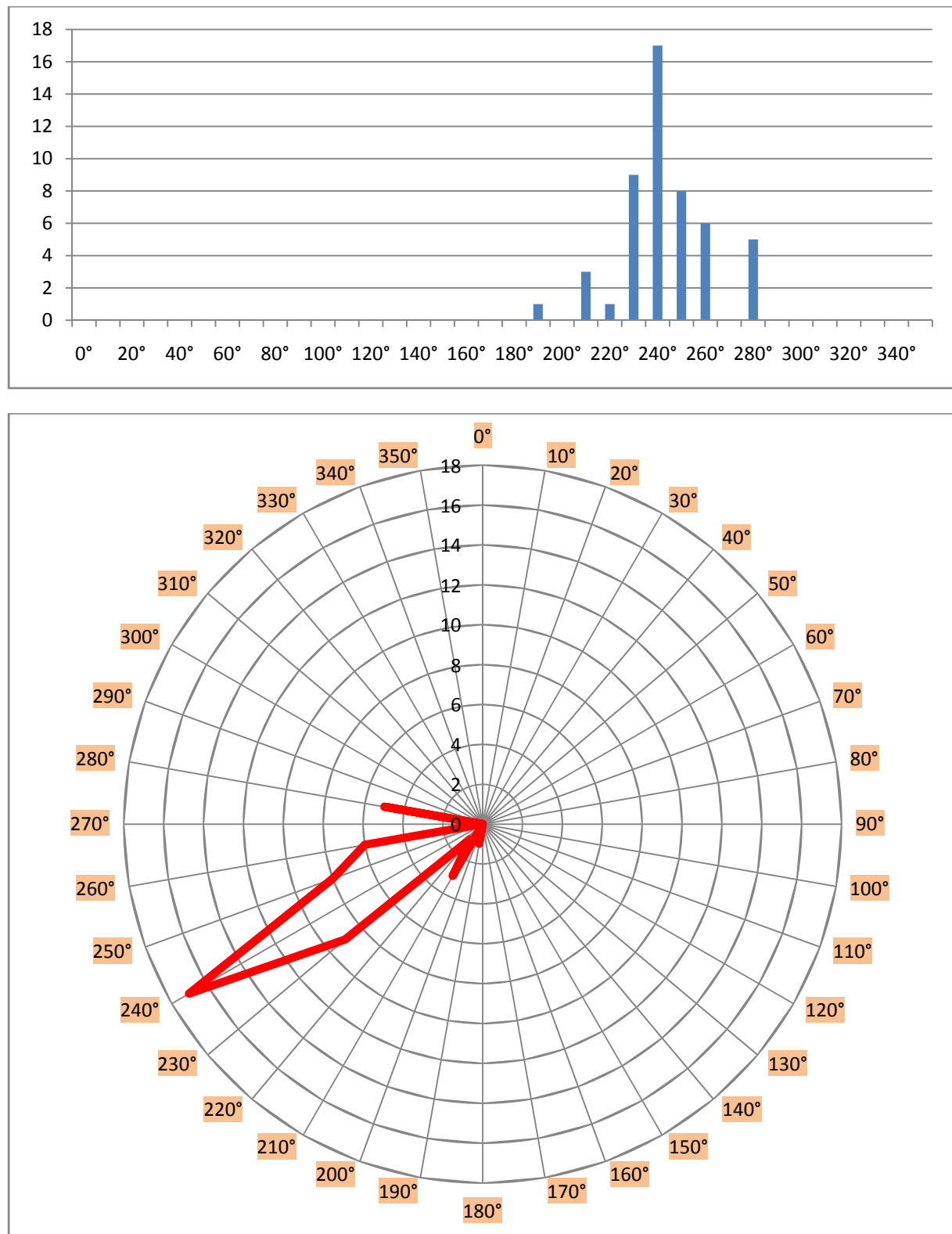


Fig. 16 – diagrammes de dispersion de l'orientation des dolmens du secteur Sud ; zone des Petits Causses.

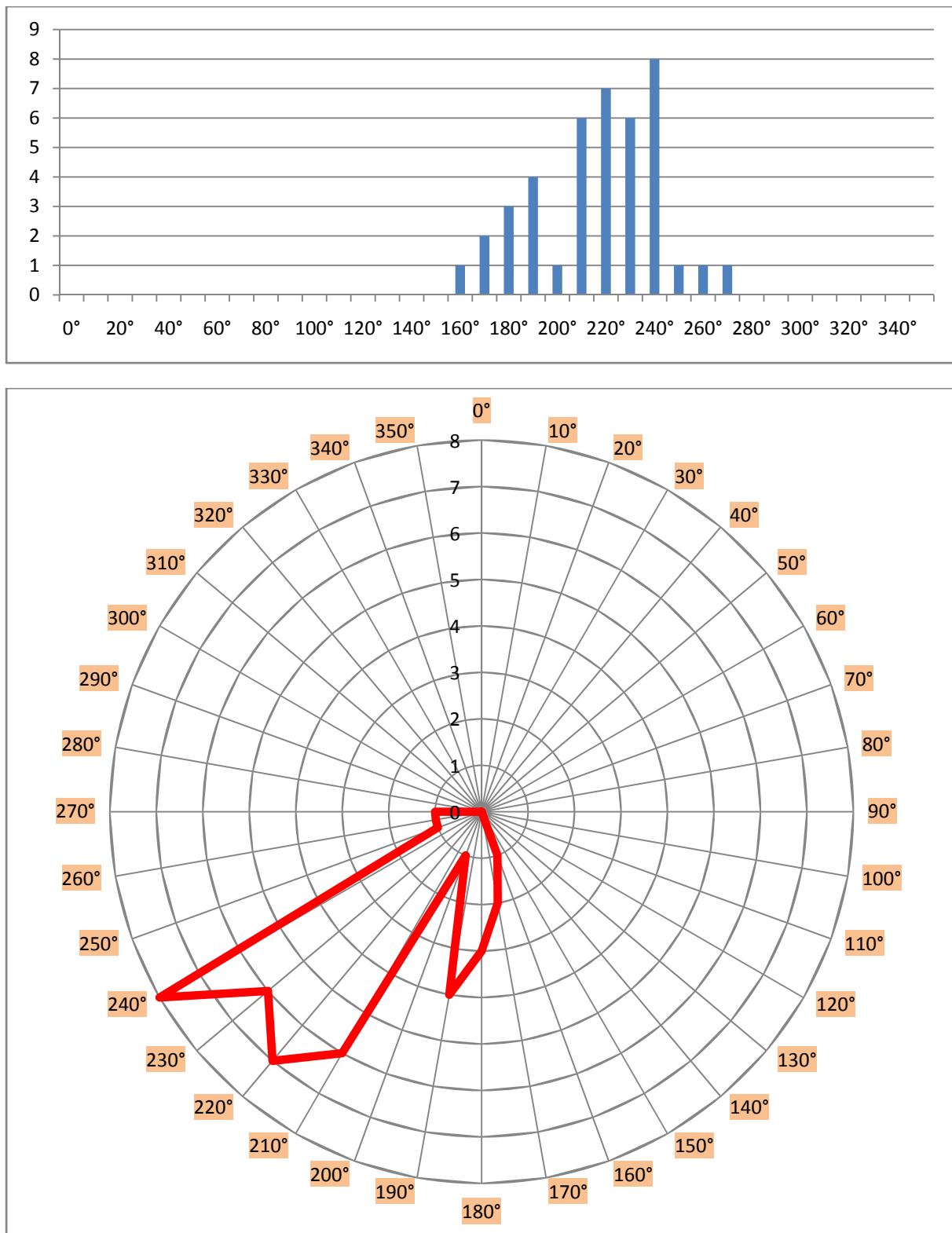


Fig. 17 – diagrammes de dispersion de l'orientation des dolmens du secteur Sud ; zone du Causse du Larzac et du Lodévois.

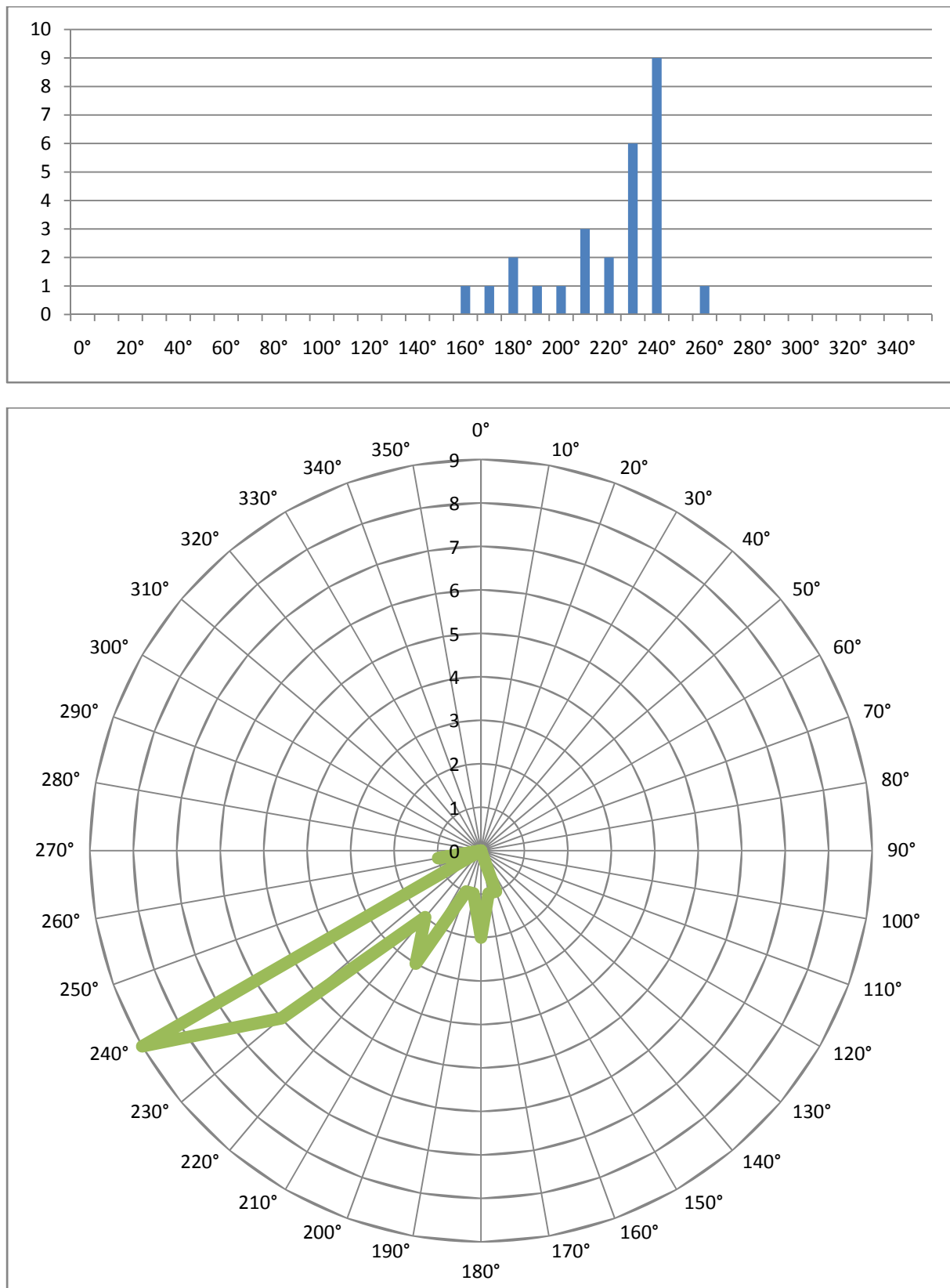


Fig. 18 – diagrammes de dispersion de l'orientation des dolmens à architecture trapézoïdale (ou type Grandmont – la Devèze) des Secteurs Nord et Sud.

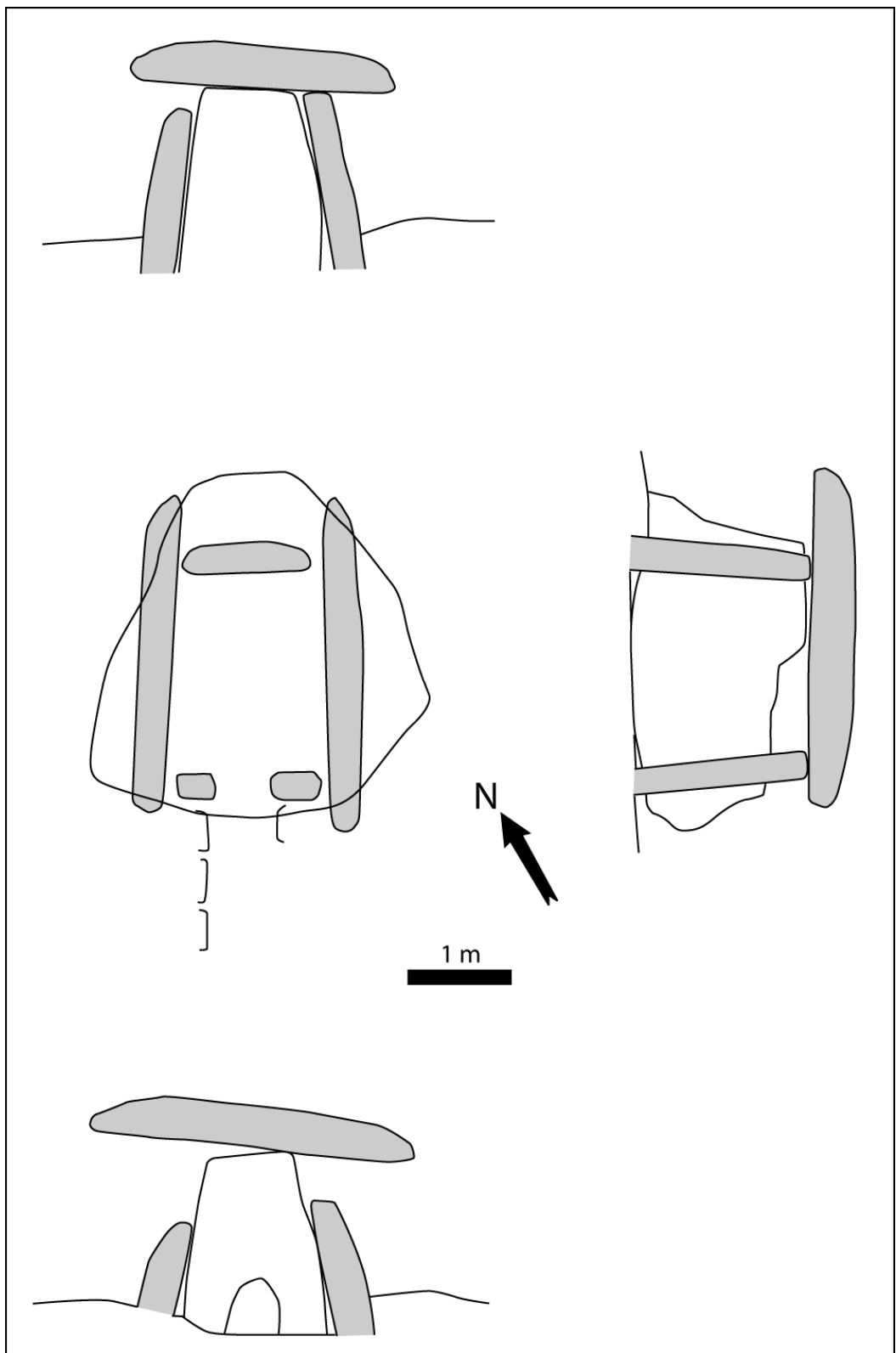


Fig. 19 – Dolmen de Grandmont 1; commune de Soumont (d'après Chevalier 1984).

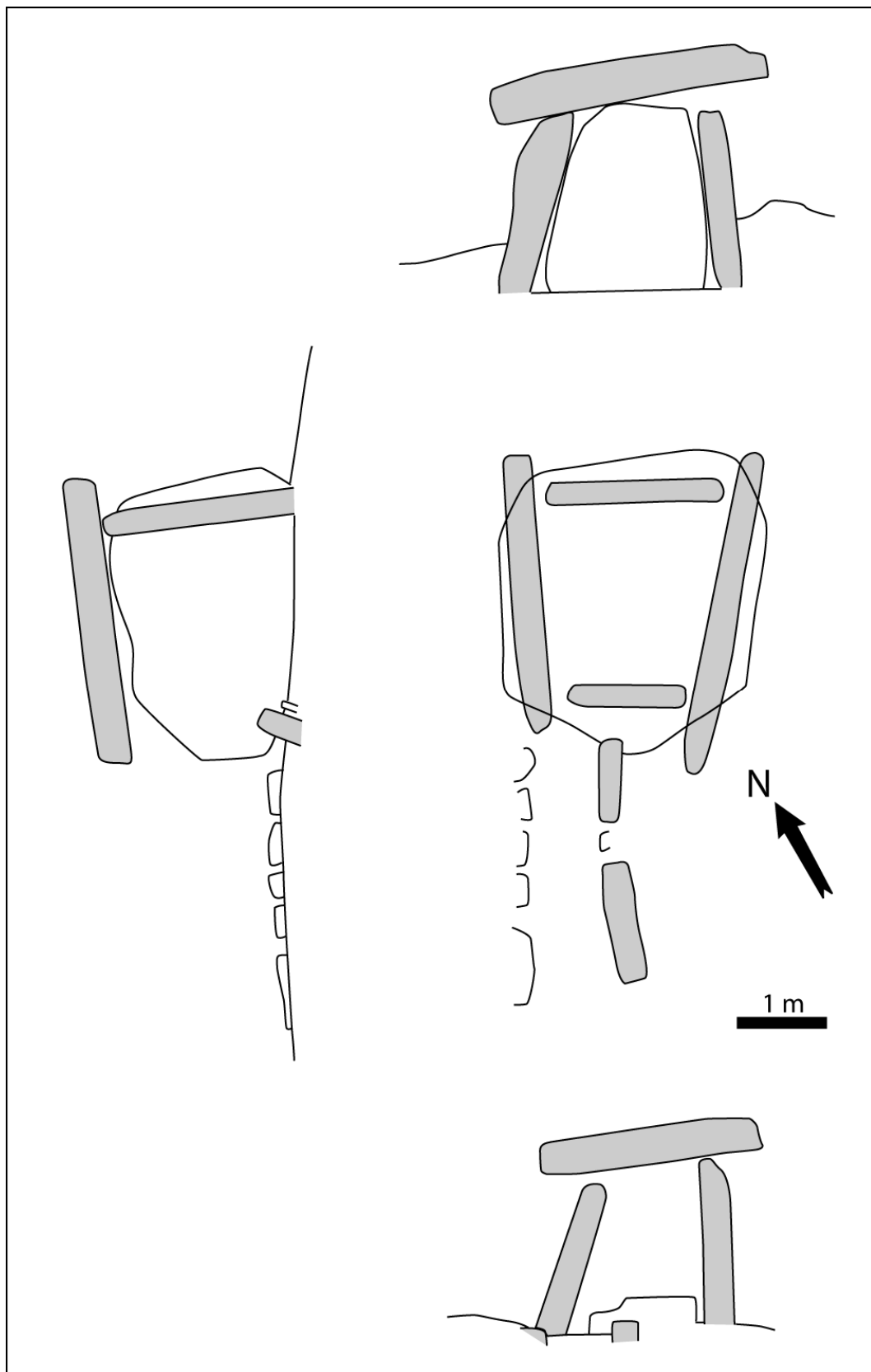


Fig. 20 – Dolmen de Grandmont 2; commune de Saint-Privat (d'après Chevalier 1984).

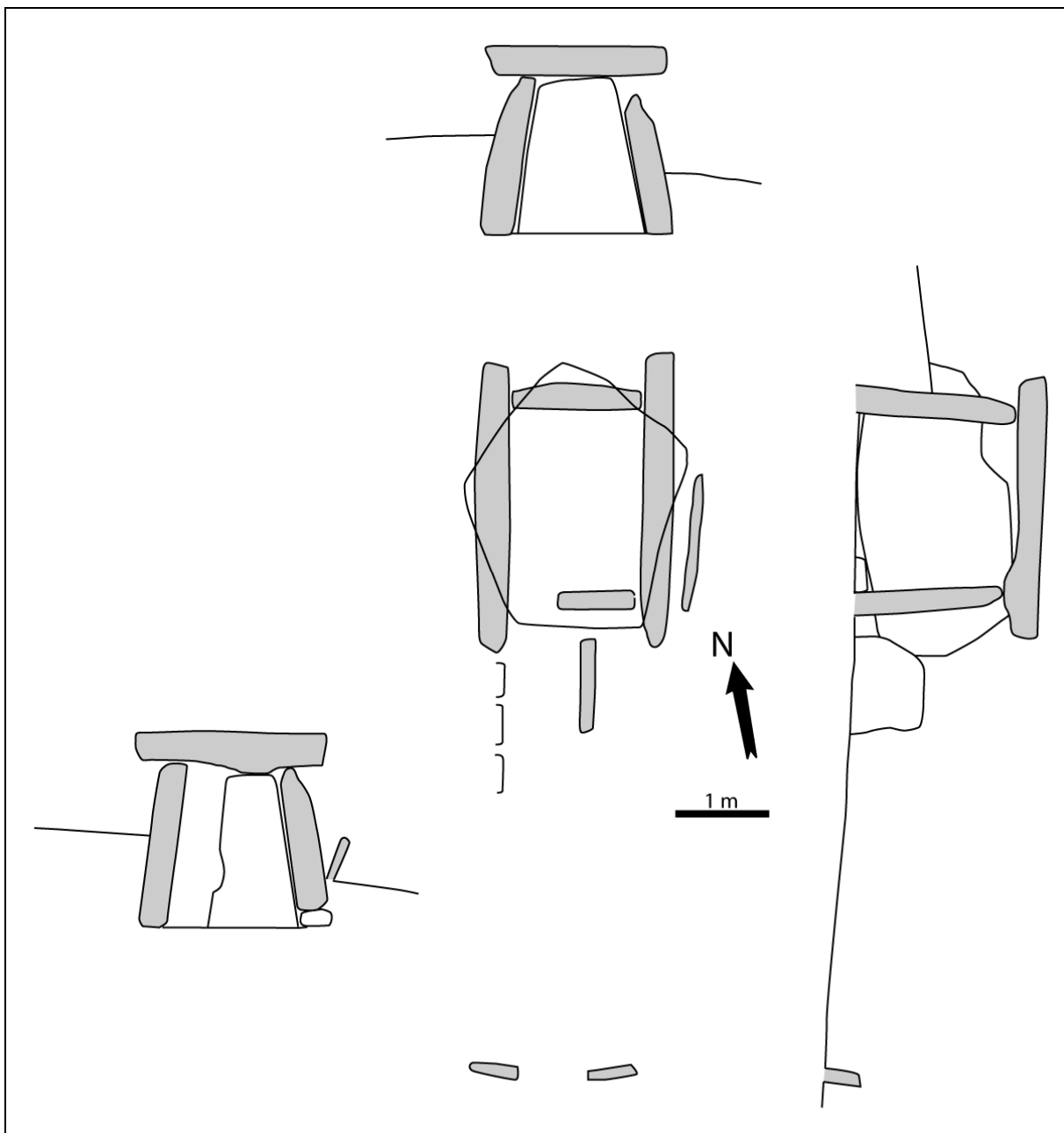


Fig. 21 – Dolmen de la Bruyère d'Usclas ; commune de Saint-Privat (d'après Chevalier 1984).

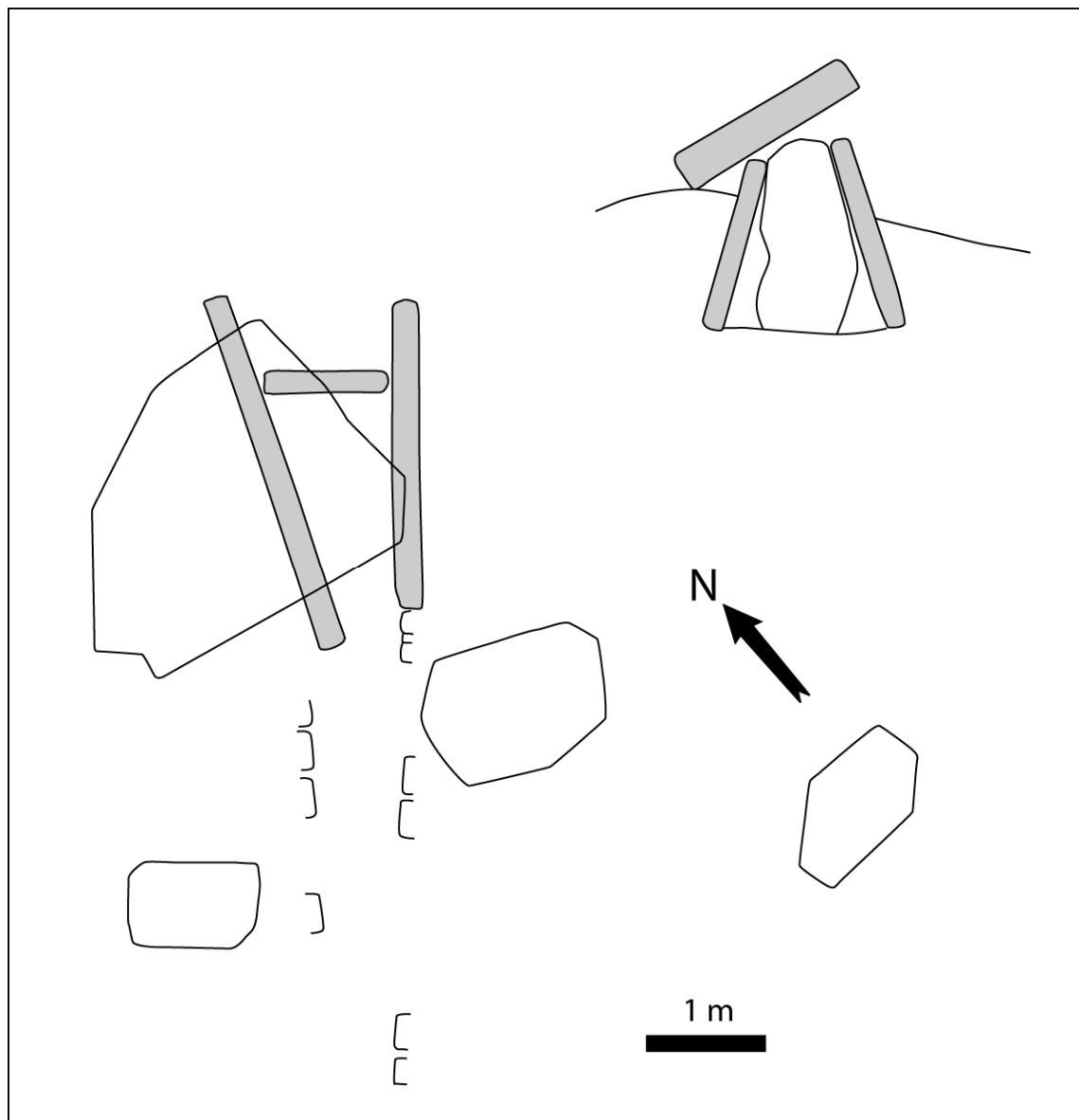


Fig. 22 – Dolmen du Mas de Jourdes 2, avant restauration; commune de La Vacquerie (d'après Arnal et al. 2006).

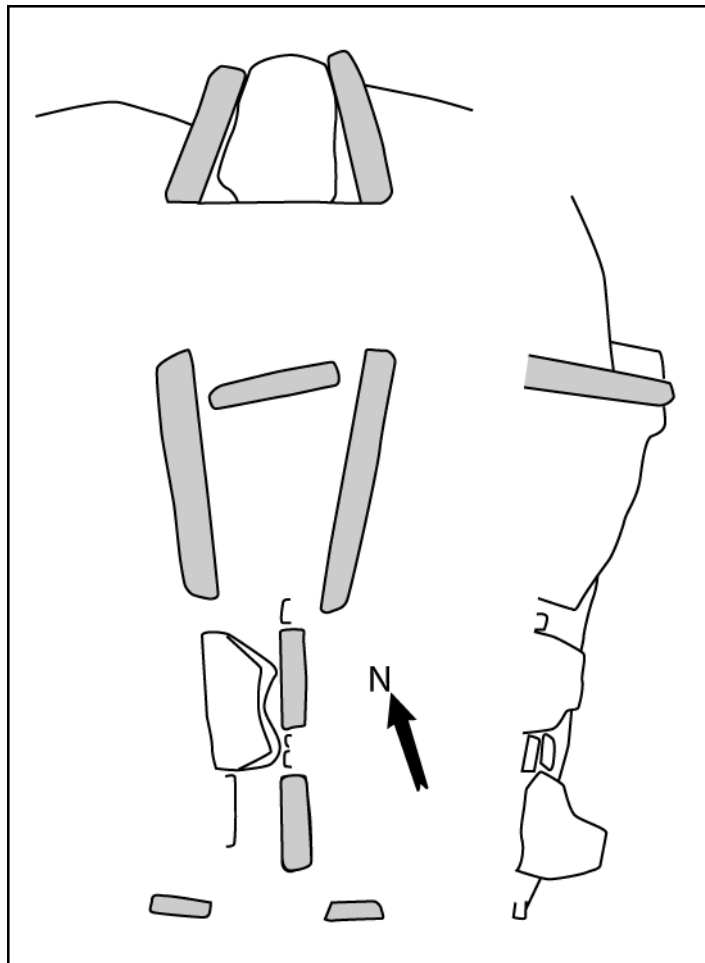


Fig. 23 – Dolmen du Rancas 1; commune de Saint-Maurice-Navacelles (d'après Chevalier 1984).

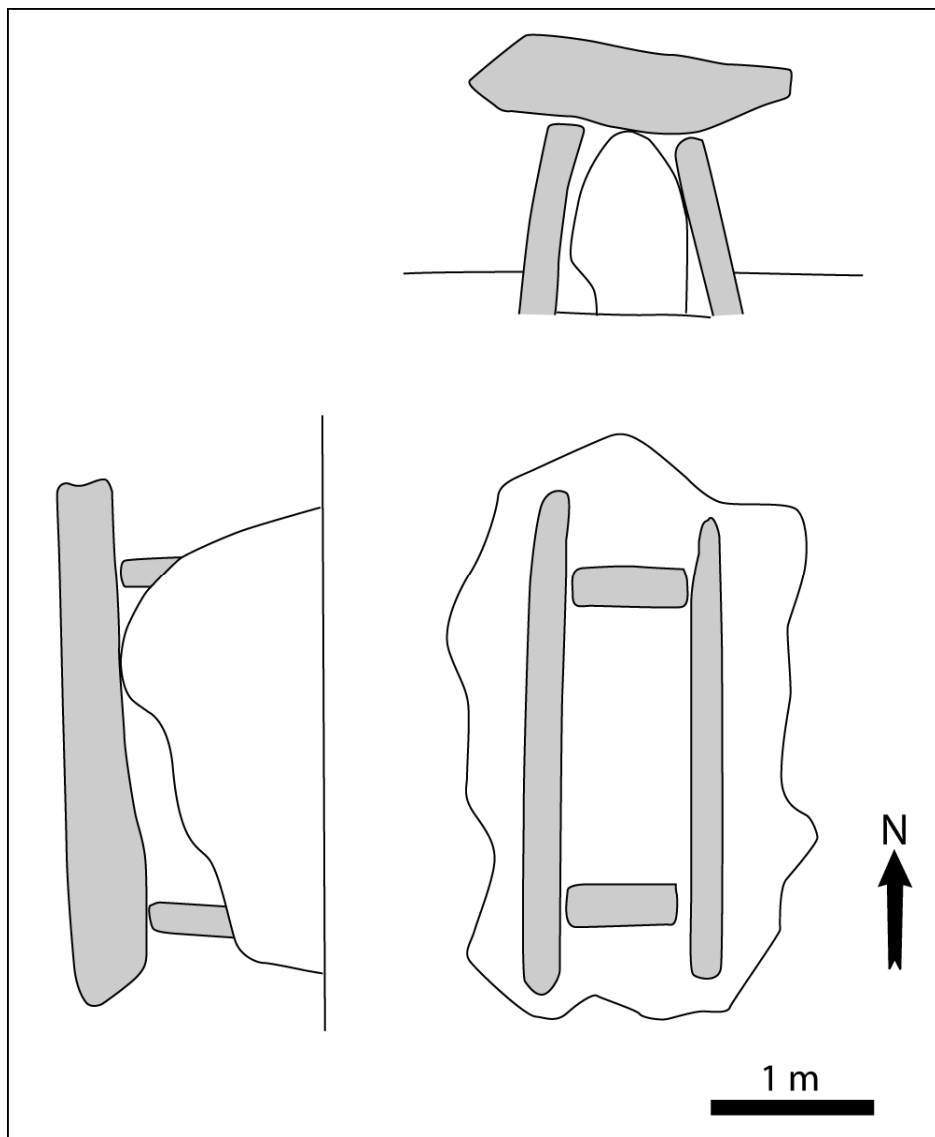


Fig. 24 – Dolmen de la Prunarède 1; commune de Saint-Maurice-Navacelles (d'après Arnal et al. 2006).

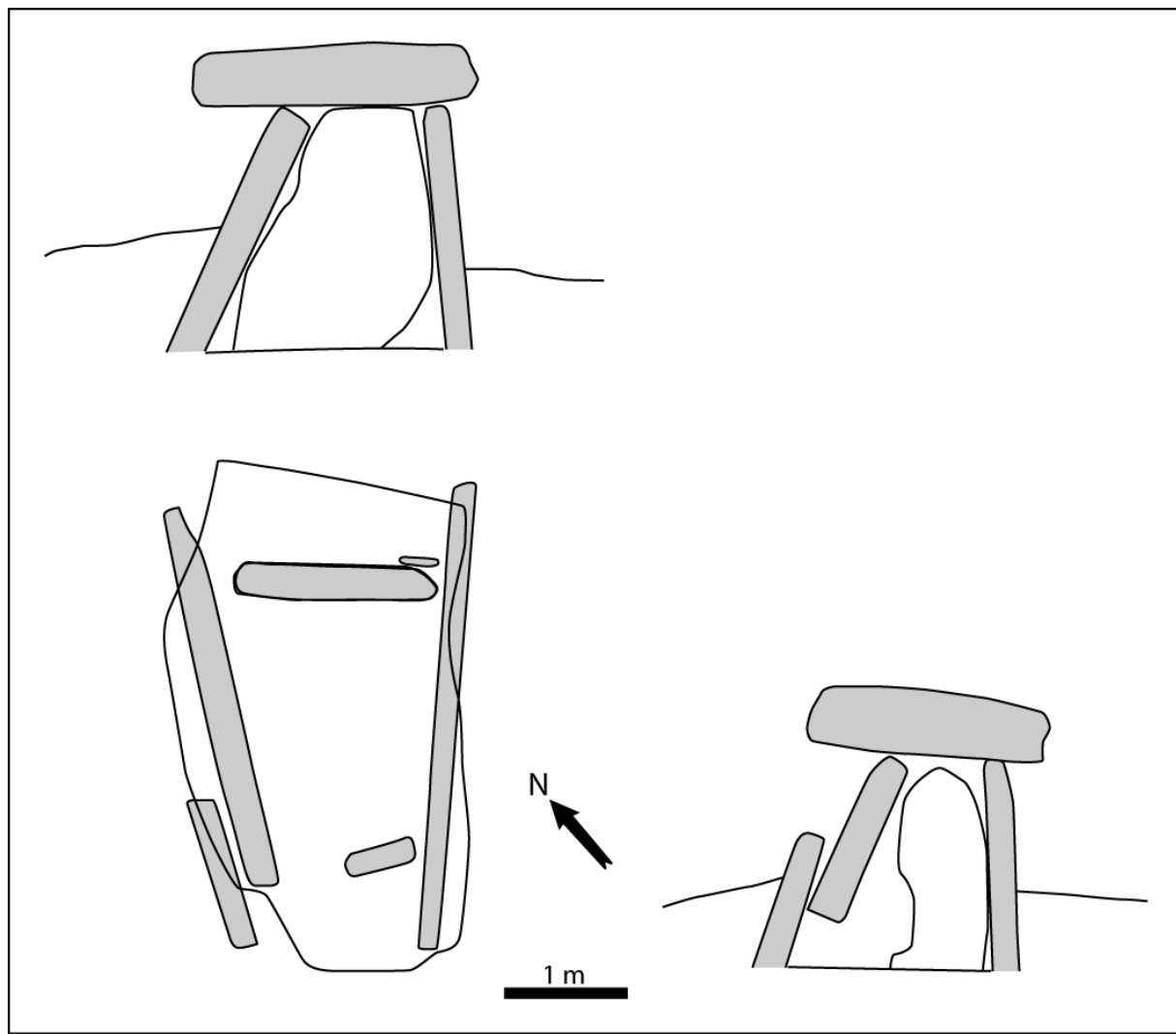


Fig. 25 – Dolmen de la Rigoule; commune de Saint-Guilhem-le-Désert (d'après Chevalier 1984).

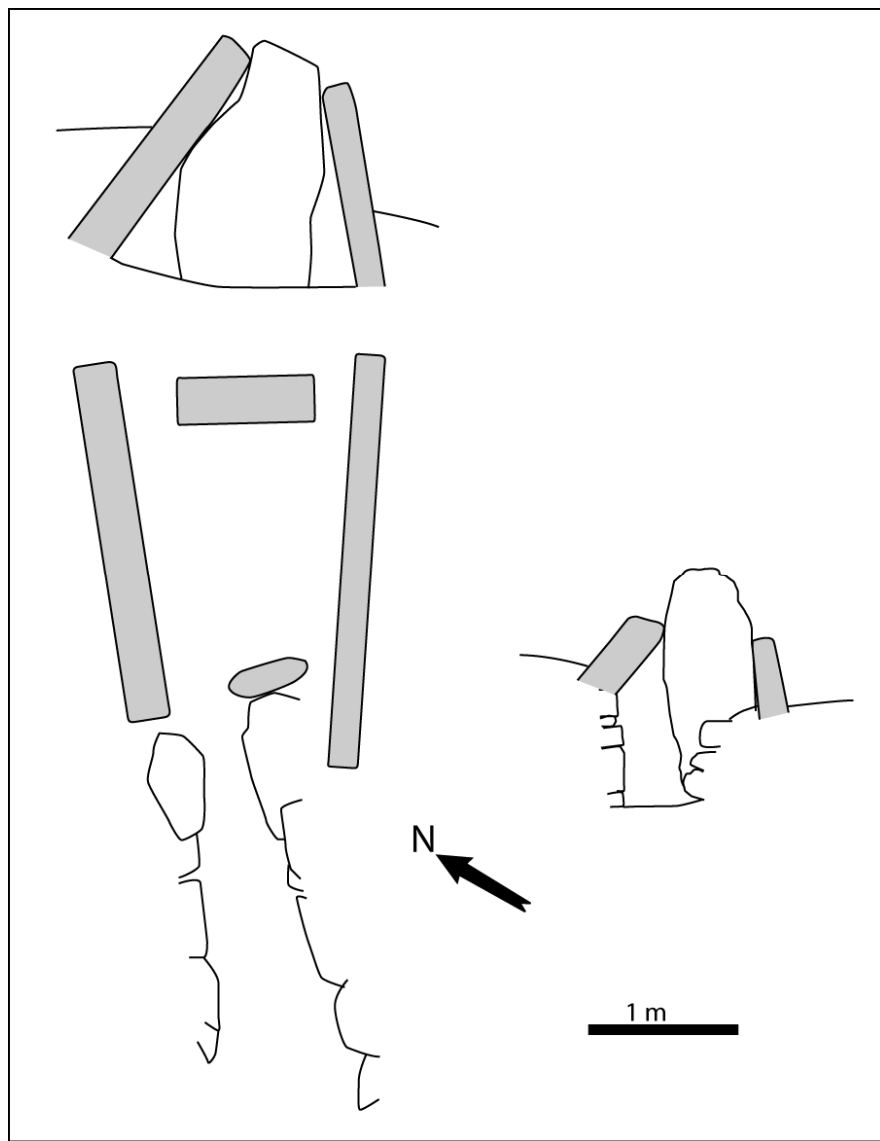


Fig. 26 – Dolmen du Mas Alexandre; commune de Saint-André-de-Buèges (d'après Arnal et al. 2006).

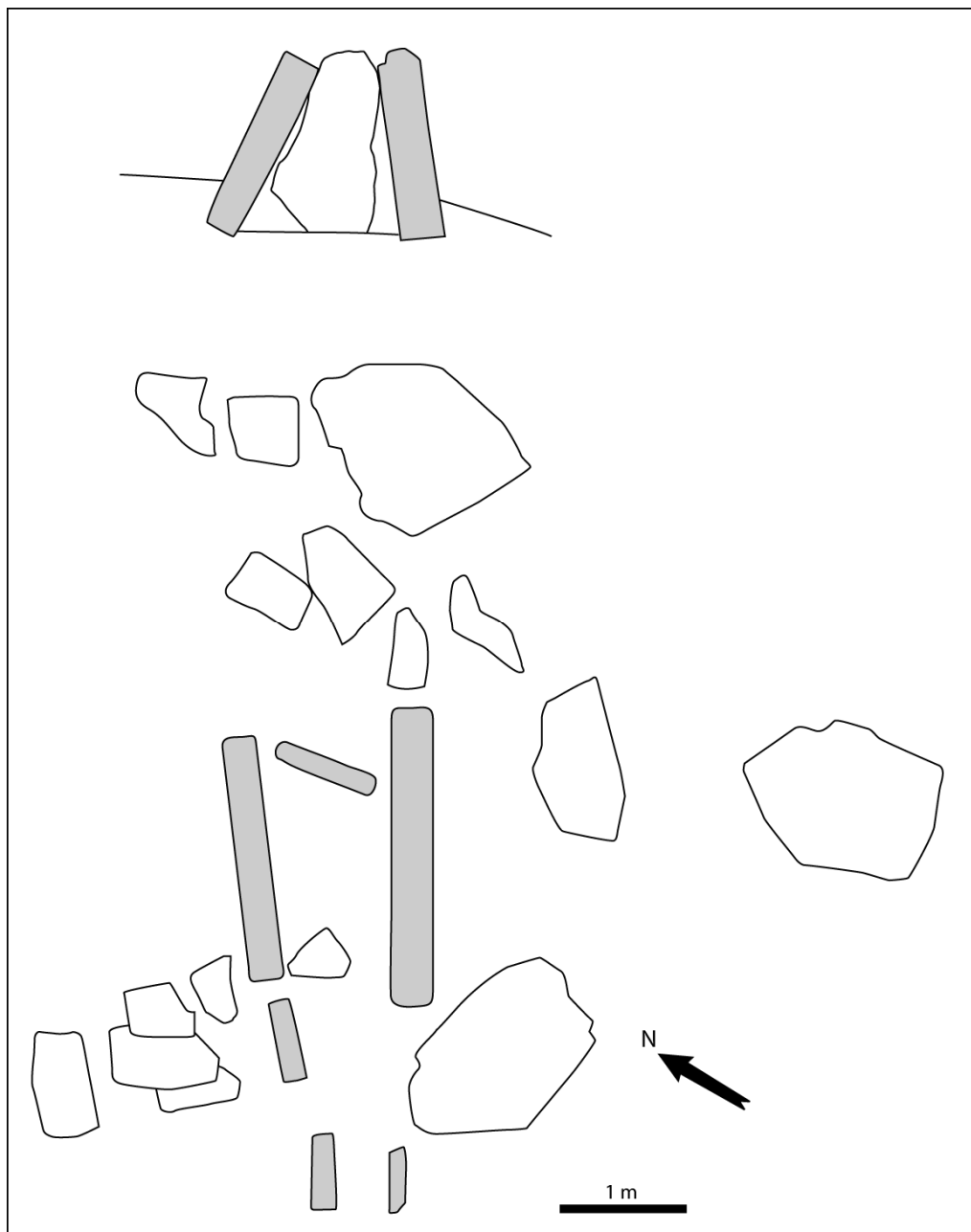


Fig. 27 – Dolmen de Pioch Narras 1, avant restauration; commune de Saint-Jean-de-Buèges (d'après Arnal et al. 2006).

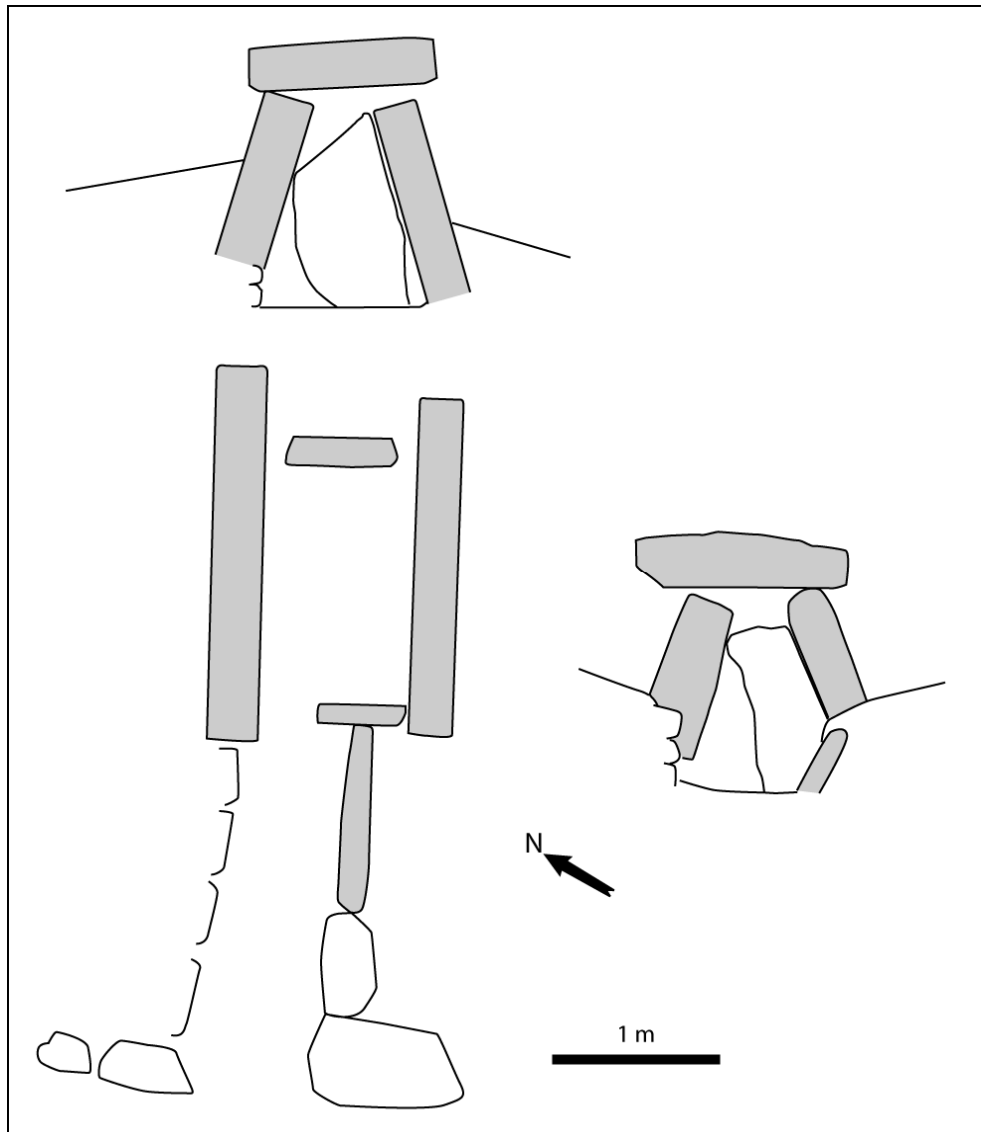


Fig. 28 – Dolmen de Pioch Narras 2, après restauration; commune de Saint-Jean-de-Buèges (d'après Arnal et al. 2006).

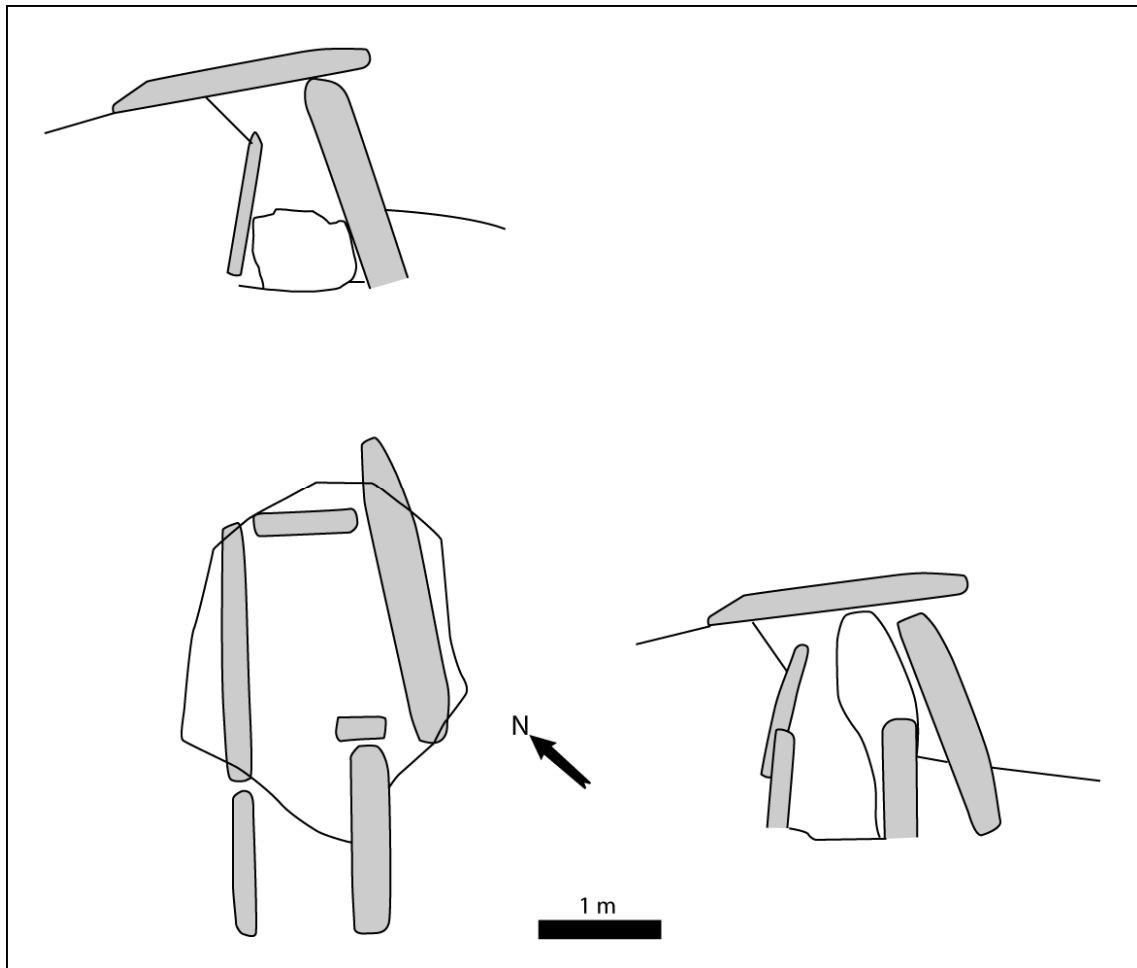


Fig. 29 – Dolmen des Tières, après restauration; commune de Saint-Guilhem-le-Désert (d'après Arnal et al. 2006).

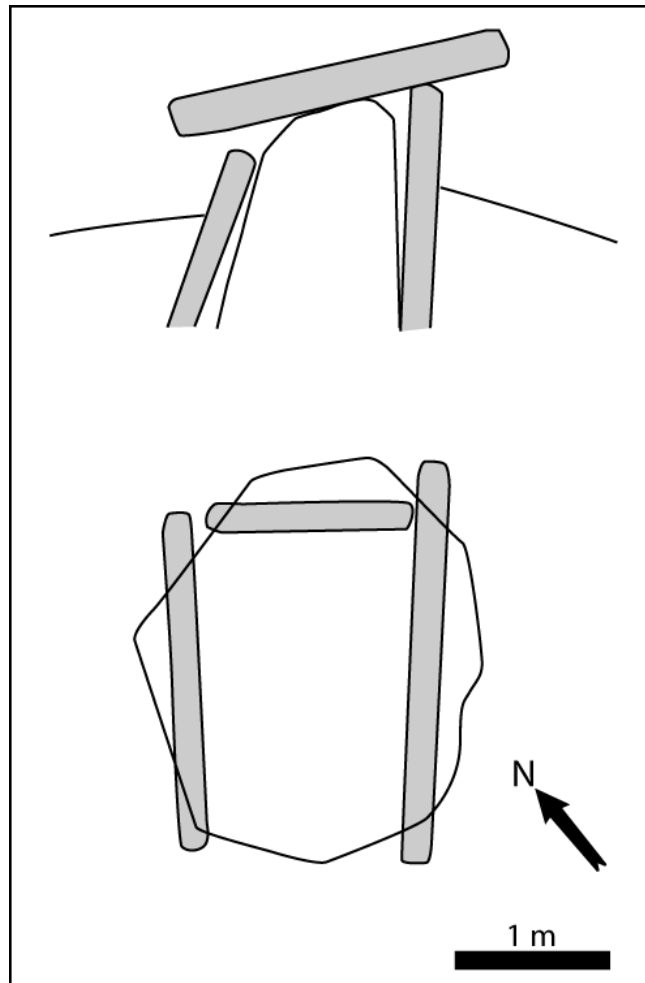


Fig. 30 – Dolmen du Mas de Tourreau 2, avant restauration; commune de Saint-Guilhem-le-Désert (d'après Arnal et al. 2006).

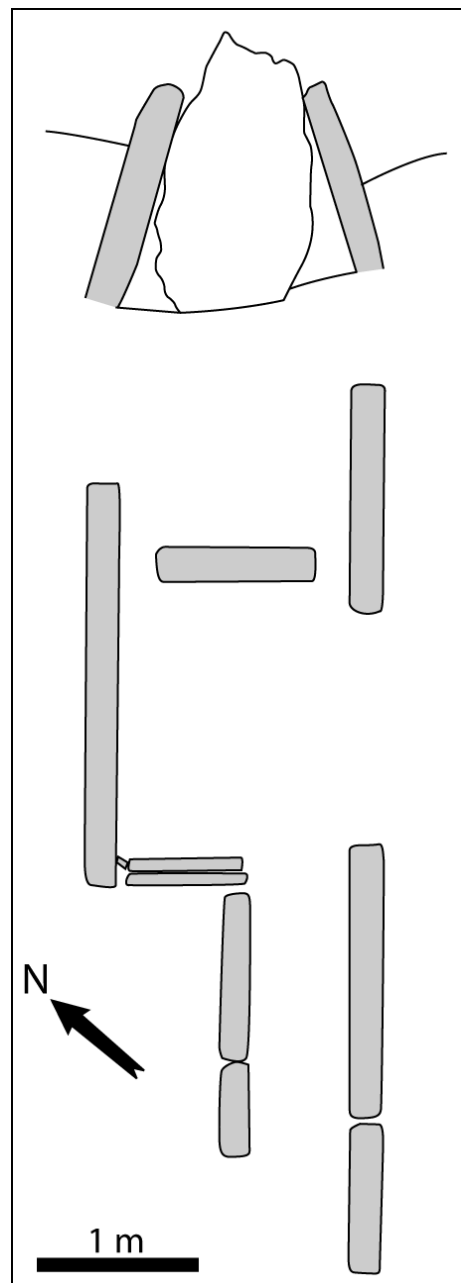


Fig. 31 – Dolmen de la Métairie de la Croix; commune de Brissac (Châteauneuf 2009).

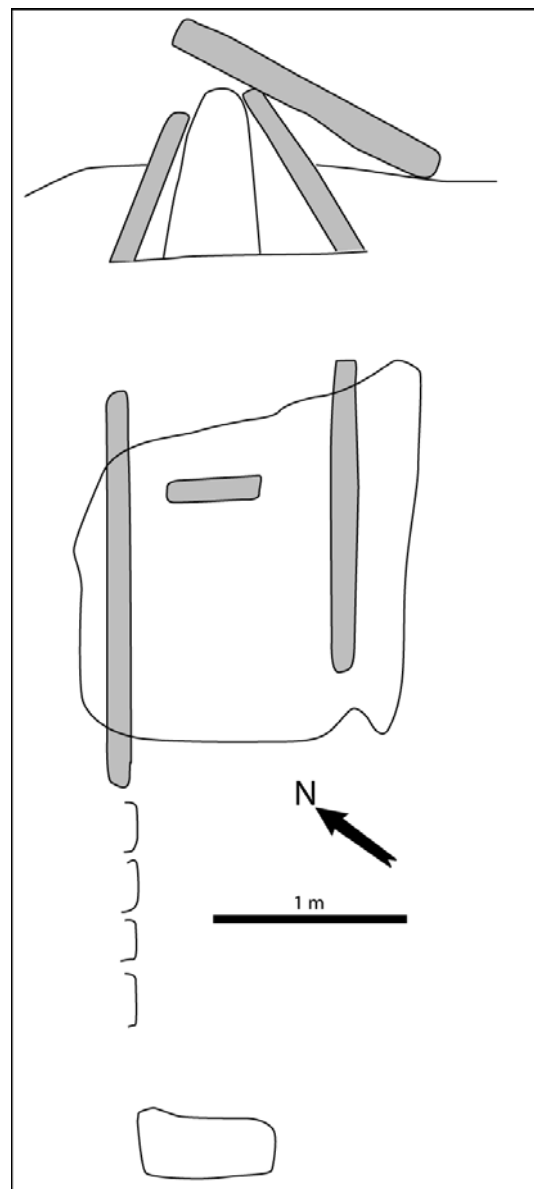


Fig. 32 – Dolmen du Moustachou 3; commune du Causse-de-la-selle (d'après Arnal 1963).

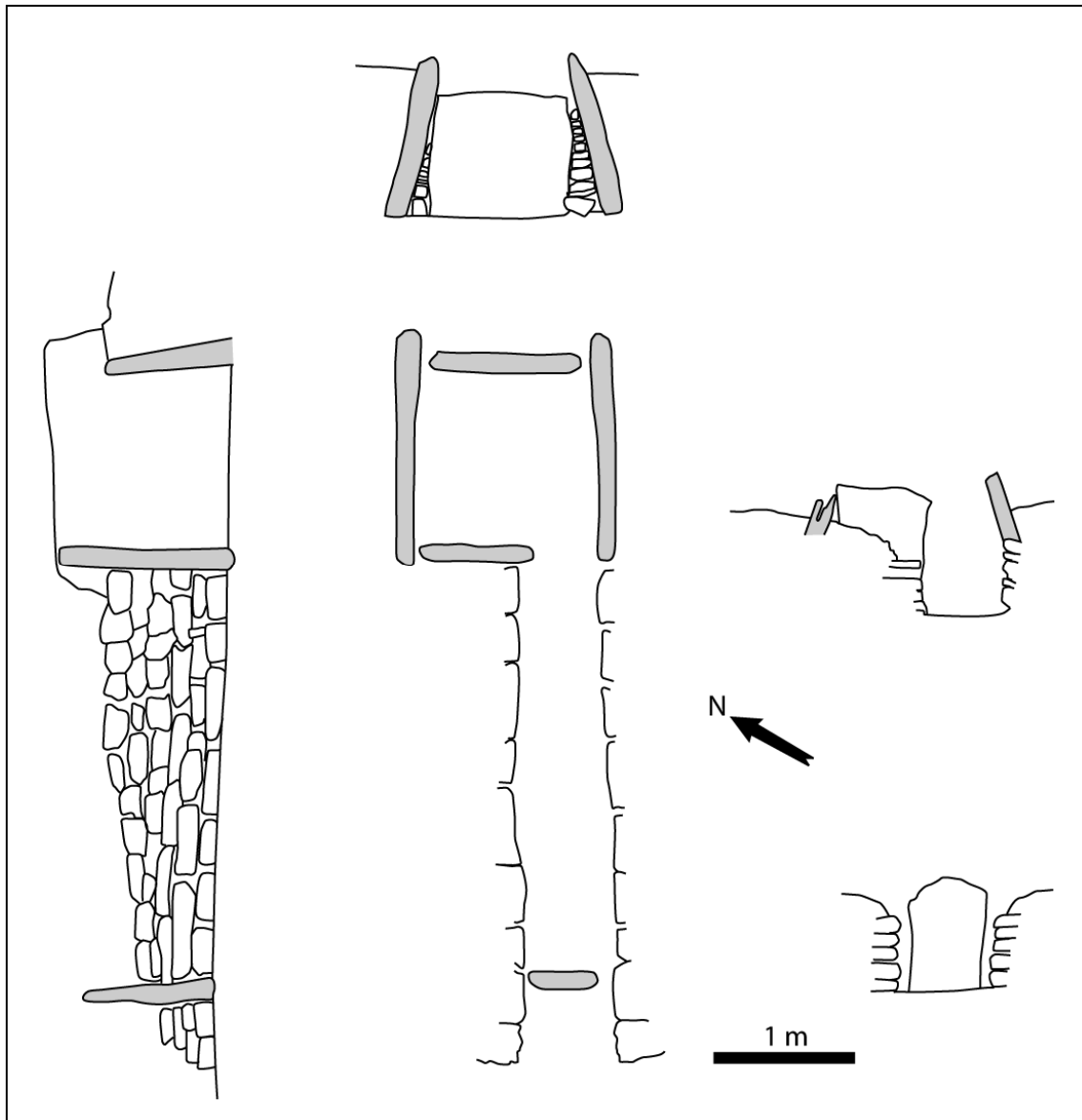


Fig. 33 – Dolmen du Pouzet; commune de Viols-le-Fort (Rocca et Châteauneuf 2009 ; d'après Rocca).

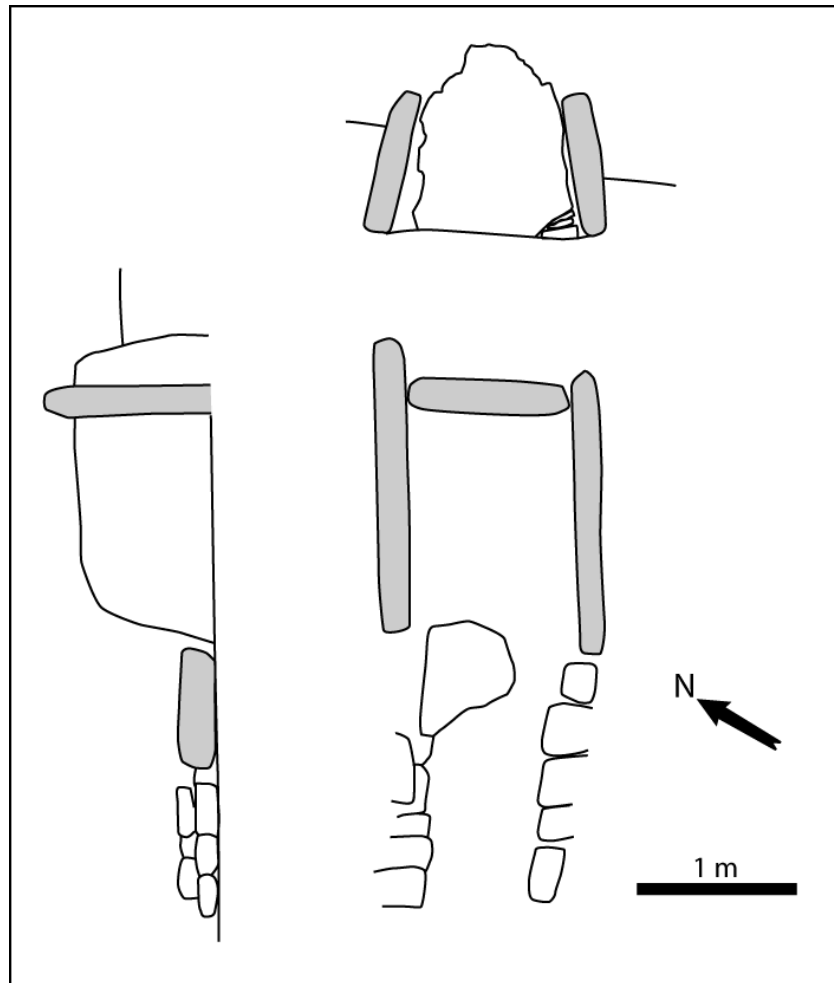


Fig. 34 – Dolmen de Lamouroux 1; commune d'Aumelas (d'après Rocca).

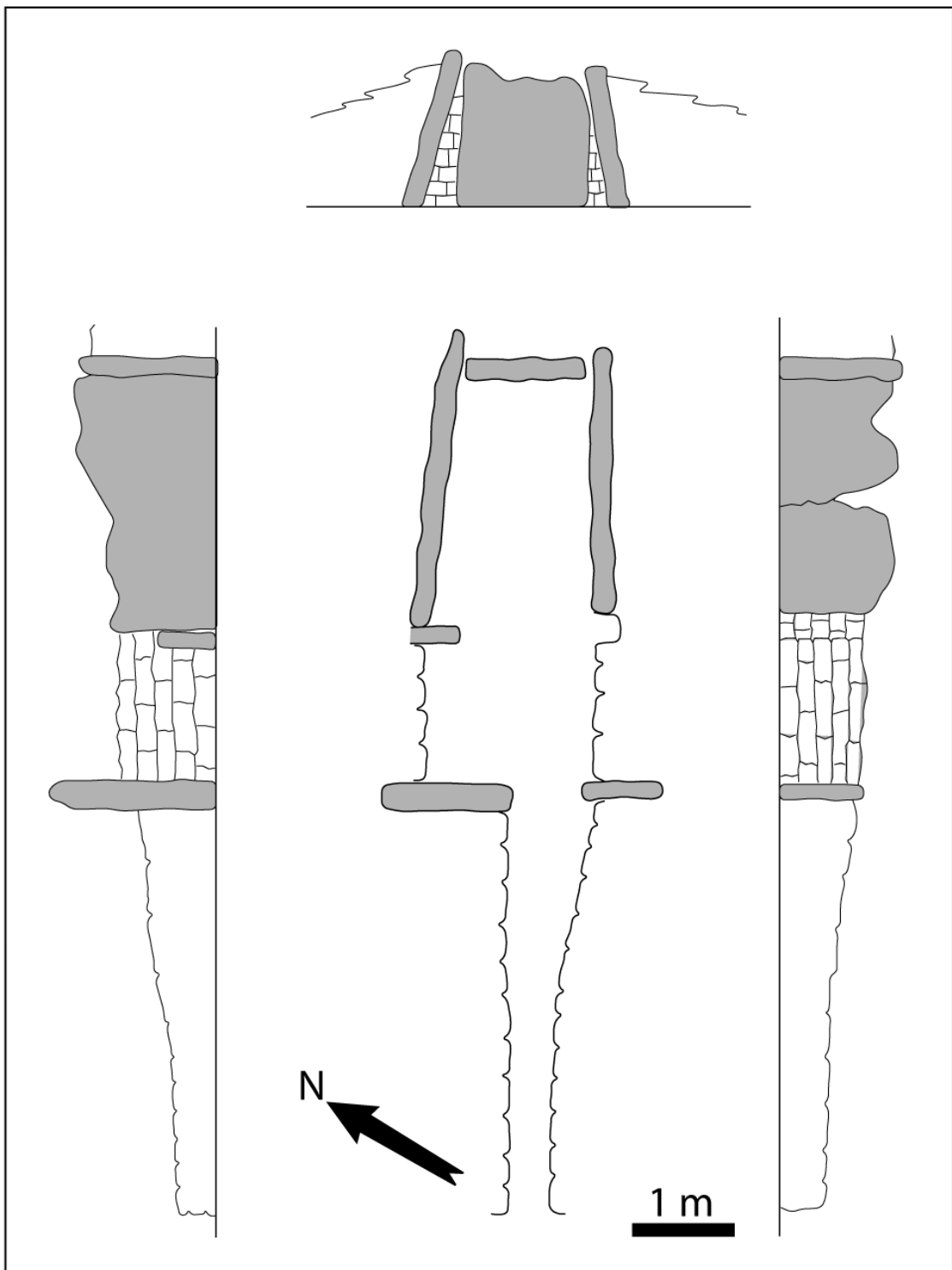


Fig. 35 – Dolmen du Grand Juyan de Roubiac, après restauration; commune de Cazevieille (d'après Requirand).

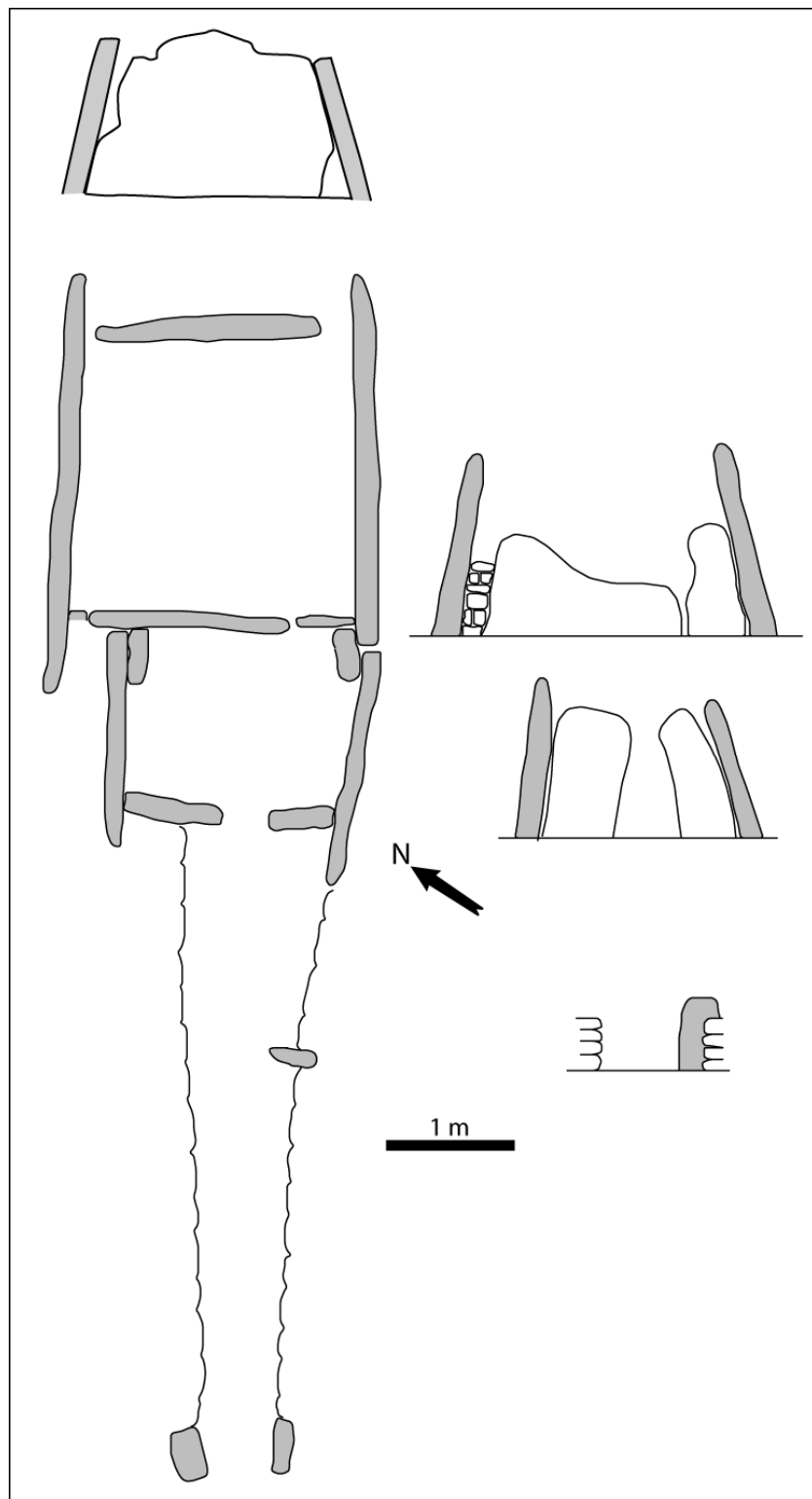


Fig. 36 – Dolmen du Capucin, après restauration; commune de Claret (d'après Requirand).

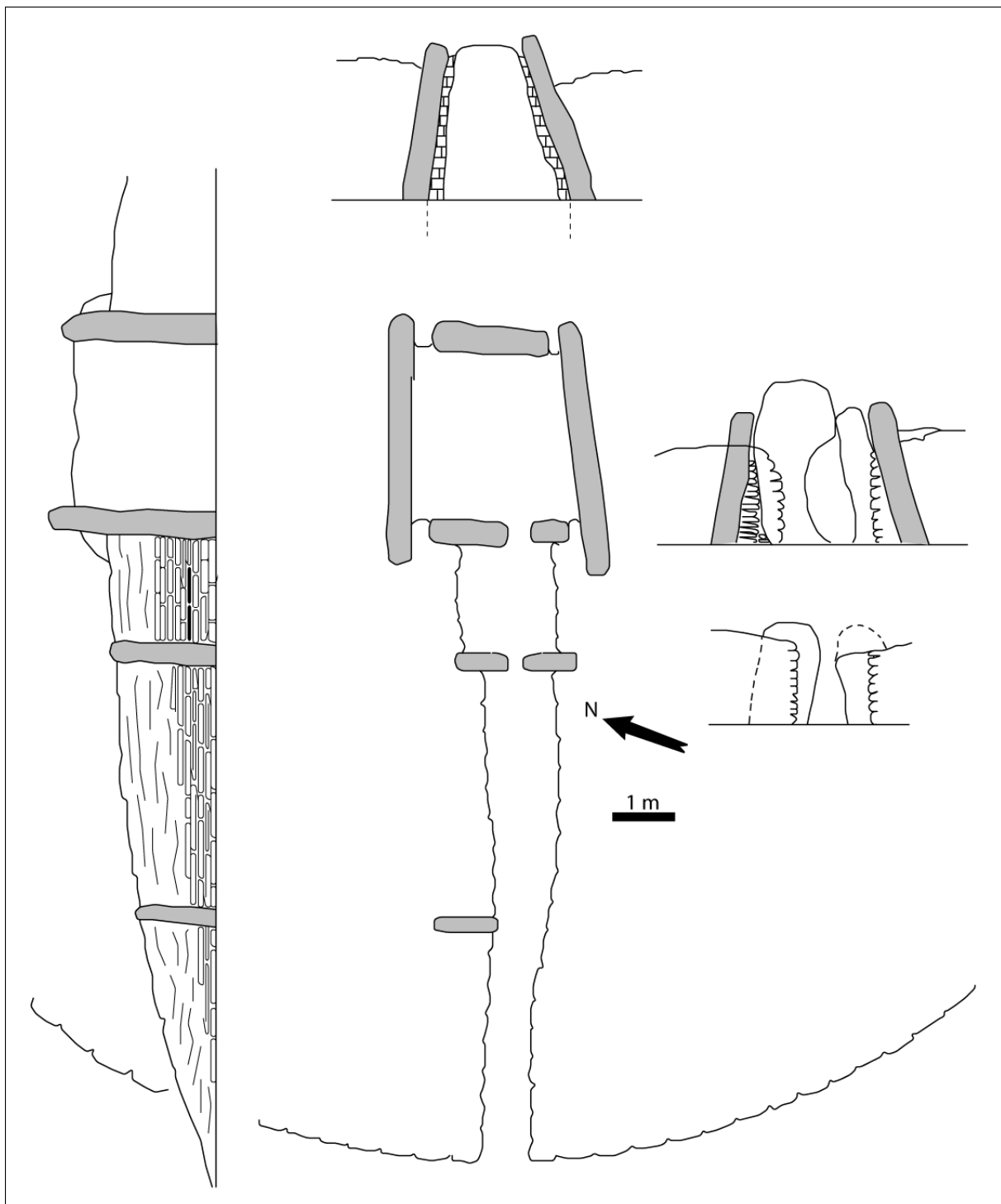


Fig. 37 – Dolmen de Feuilles, après restauration; commune de Rouet (d'après Chevalier 1984).

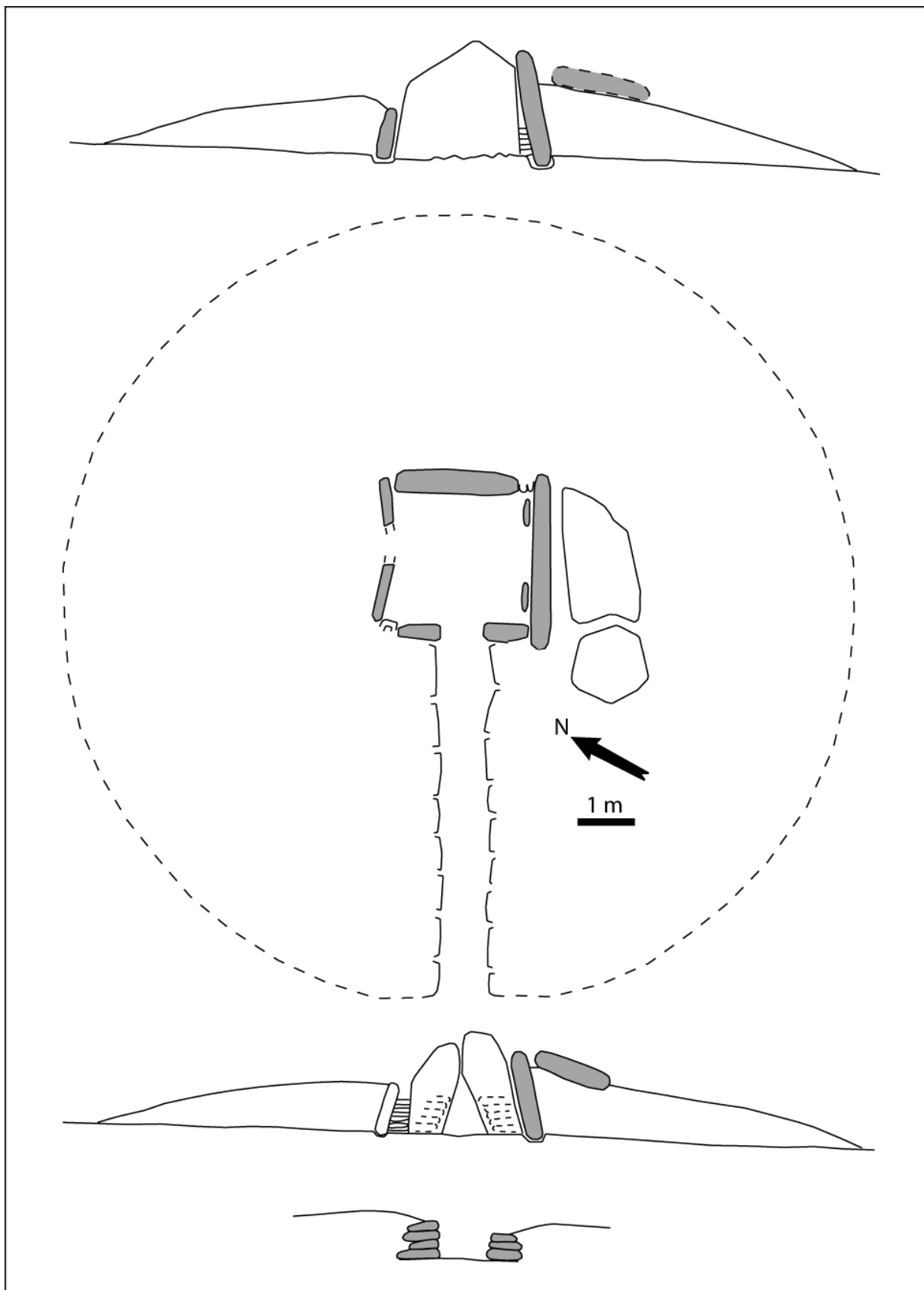


Fig. 38 – Dolmen du Banelle; commune de Saint-Hippolyte-du-Fort (d'après Lorblanchet 1967).

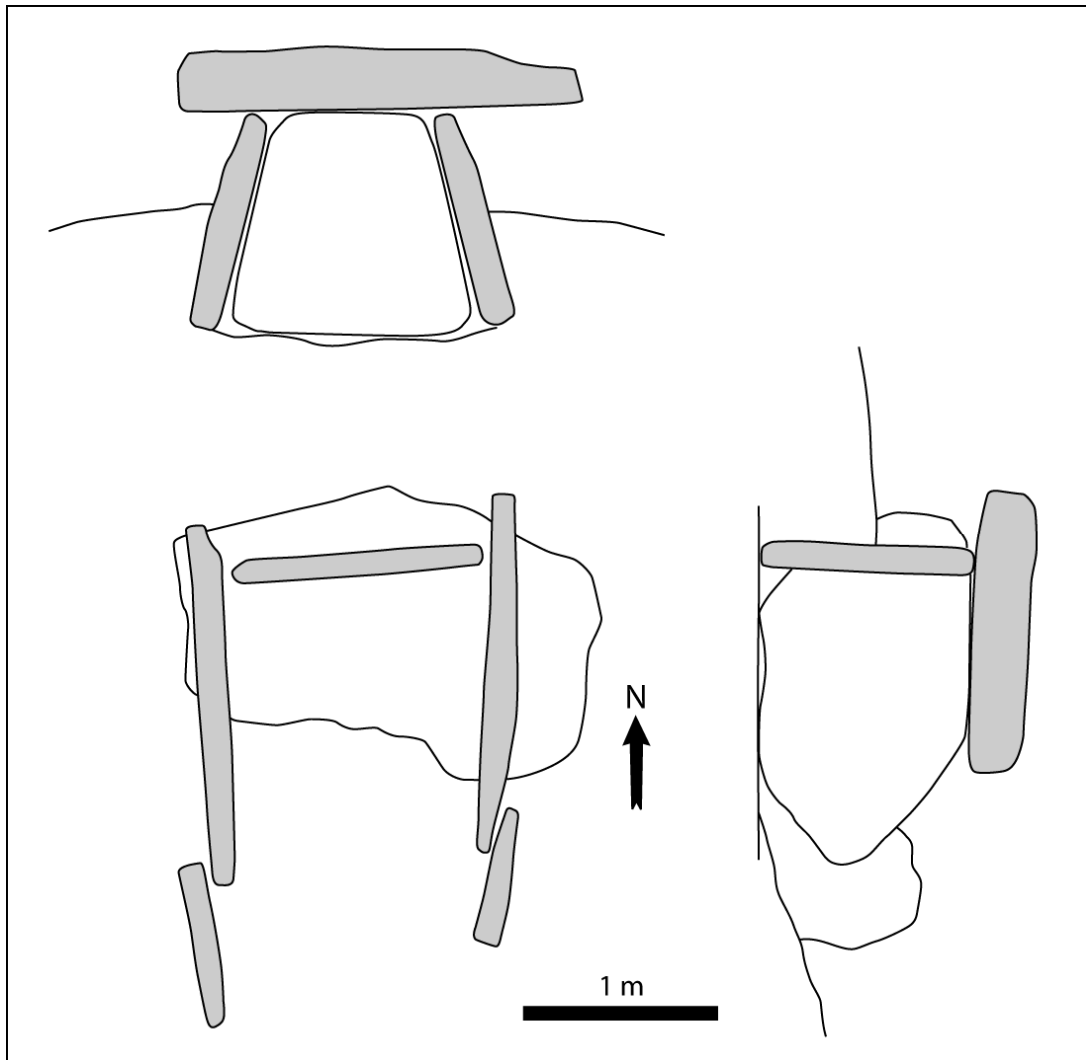


Fig. 39 – Dolmen des Géantes 3; commune de Bourg-Saint-Andéol (d'après Chevalier 1984).

TABLEAUX

TABLEAU 1 : calcul de la surface utile et de la surface à couvrir par dolmen.**La différence entre les deux résultats sera le gain de surface à couvrir**

	surface utile m²	surface à couvrir m²	différence m²	pourcentage de différence
Grandmont 1 (Soumont)	3,38	1,44	1,94	57,40%
Grandmont 2 (Saint-Privas)	3,2	1,46	1,76	54,66%
la Bruyère d'Usclas (Saint-Privas)	2,78	1,35	1,43	51,44%
le Mas de Jourdes 2 (La Vacquerie)	2,33	1,27	1,06	45,49%
Ferrussac 4 (La Vacquerie)	2,93	1,91	1,02	34,81%
la Prunarède 1 (Saint-Maurice-Navacelles)	2,24	1,35	0,89	39,73%
la Prunarède 2 (Saint-Maurice-Navacelles)	2,13	0,83	1,3	61,03%
la Rigoule (Saint-Guilhem-le-Désert)	2,88	0,9	1,98	68,75%
le Mas Alexandre (Saint André de Buèges)	3,06	1,17	1,89	61,76%
Pioch Narras 1 (Saint jean de Buèges)	1,45	0,58	0,87	60,00%
Pioch Narras 2 (Saint Jean de Buèges)	1,82	0,49	1,33	73,08%
le Mas de Tourreau 2 (Saint-Guilhem le Désert)	2,88	0,9	1,98	68,75%
le Moustachou 3 (Causse de la Selle)	1,66	0,6	1,06	63,86%
Lamouroux 1 (Aumelas)	1,67	1,28	0,39	23,35%
le Pouzet (Viols-le-Fort)	2,47	1,51	0,96	38,87%
le Grand Juyan de Roubiac (Cazevieille)	3,96	2,42	1,54	38,89%
Capucin 1 (Claret)	4,4	3,3	1,1	25,00%
Feuilles 1 (Rouet)	6,37	2,6	3,77	59,18%
la Devèze 3 (Barjac)	4,27	2,7	1,57	36,77%
la Devèze 4 (Barjac)	2,3	1,36	0,94	40,87%
la Devèze 5 (Barjac)	1,84	1,12	0,72	39,13%
le Terme des Fades (Laval-Saint-Roman)	3,36	2,14	1,22	36,31%
MOYENNE	2,88	1,49	1,40	48,45%

**TABLEAU 2 : calcul de l'inclinaison des parois latérales droite et gauche en degrès,
moyenne des deux angles et écart entre les deux parois ; par dolmen.**

	delta A en degrés	delta B en degrés	Moyenne des angles	écart en degrés
Grandmont 1 (Soumont)	77	78	77,5	1
Grandmont 2 (Saint-Privas)	82	80	81	2
la Bruyère d'Usclas (Saint-Privas)	67	72	69,5	5
le Mas de Jourdes 2 (La Vacquerie)	73	76	74,5	3
Saint Martin d'Azirou (La Vacquerie)	69	74	71,5	5
le Rancas 1 (Saint-Maurice-Navacelles)	76	70	73	6
la Prunarède 1 (Saint-Maurice-Navacelles)	76	83	79,5	7
la Prunarède 2 (Saint-Maurice-Navacelles)	80	76	78	4
le Suquet (Pégayrolle)	72	78	75	6
la Rigoule (Saint-Guilhem-le-Désert)	84	66	75	18
le Mas Alexandre (Saint André de Buèges)	84	56	70	28
Pioch Narras 1 (Saint Jean de Buèges)	82	66	74	16
Pioch Narras 2 (Saint Jean de Buèges)	77	74	75,5	3
les Tières (Saint Guilhem le Désert)	70		70	
le Mas de Tourreau 2 (Saint-Guilhem le Désert)	74		74	
la Métairie de la Croix 2 (Brissac)		69	69	
le Moustachou 3 (Causse de la Selle)	69	77	73	8
Lamouroux 1 (Aumelas)	78	74	76	4
le Pouzet (Viols-le-Fort)	74	76	75	2
le Grand Juyan de Roubiac (Cazevieille)	80	75	77,5	5
Capucin 1 (Claret)	80	84	82	4
Feuilles 1 (Rouet)	72	82	77	10
Banelle (Saint Hippolyte du Fort)	80		80	
la Devèze 3 (Barjac)	71	71	71	0
la Devèze 4 (Barjac)	72	84	78	12
la Devèze 5 (Barjac)	69	76	72,5	7
le Terme des Fades (Laval-Saint-Roman)	80	67	73,5	13
les Géantes 3 (Bourg-Saint-Andéol)	75	76	75,5	1
moyenne	75,7	74,4	74,9	7,1

Tableau 3 : orientation des dolmens du secteur Nord

Commune	Dolmen	Azimut	Direction
Beaulieu	002	110°	E.S.E.
	003	200°	S.S.O.
	004	100°	E.
	005		S.
	007	100°	E.
	008	120°	E.S.E.
	014	270°	O.
	017	90°	E.
	018	100°	E.
	019	120°	E.S.E.
	021	120°	E.S.E.
	023	120°	E.S.E.
	024	120°	E.S.E.
	025	180°	S.
	027	180°	S.
	028	180°	S.
	029	90°	E.
	032	130°	S.E.
	033	210°	S.S.O.
	035	100°	E.
	036	180°	S.
	037	140°	S.E.
	038	110°	E.S.E.
	039		S.
	042		E.
	043	80°	E.
	045	100°	E.
	055	190°	S.
Berrias	002	130°	S.E.
	003	140°	S.E.
	004	110°	E.S.E.
Saint-André-de-Cruzières	001	180°	S.
	002	190°	S.
	003	180°	S.
	006	180°	S.
	007		S.E.
	009	210°	S.S.O.
	010	90°	E.
	011	120°	S.E.
	012	90°	E.
	013	180°	S.
	014	170°	S.
	015	270°	O.
	016	180°	S.
	017	140°	S.E.

Commune	Dolmen	Azimut	Direction
	018	90°	E.
	019	100°	E.
	021	190°	S.
	022	210°	S.S.O.
	023	170°	S.
	024	170°	S.
	025	100°	E.
	026	150°	S.S.E.
	027	180°	S.
	028	200°	S.S.O.
	029	180°	S.
	030	180°	S.
	031	180°	S.
	032	160°	S.S.E.
	033	90°	E.
	034	120°	E.S.E.
	035	100°	E.
	037	60°	E.N.E.
	039	90°	E.
	040	100°	E.
	042	180°	S.
	043	170°	S.
	044	140°	S.E.
	045	90°	E.
	047	180°	S.
	049	110°	E.S.E.
	050	90°	E.
	052	160°	S.S.E.
	053	120°	E.S.E.
	055	100°	E.
	056	180°	S.
	057	110°	E.S.E.
	058	160°	S.S.E.
	059	210°	S.S.O.
	060	130°	S.E.
	061		S.O.
	062	110°	E.S.E.
	063	170°	S.
	064	180°	S.
	065		S.S.O.
	069	190°	S.
	070	190°	S.
Saint-Paul-le-Jeune	001	90°	E.
	002	120°	S.E.
	003	80°	E.
	004	160°	S.S.E.
	006	120°	E.S.E.
	007	230°	S.O.

Commune	Dolmen	Azimut	Direction
	008	160°	S.S.E.
	009	120°	S.E.
	010	70°	E.N.E.
	012	120°	E.S.E.
	013	90°	E.
	014	90°	E.
	015	150°	S.S.E.
	016	210°	S.S.O.
	017		S.
	019		S.E.
	020	90°	E.
	022	110°	E.S.E.
	023	90°	E.
	024		S.E.
	025	120°	E.S.E.
	027	110°	E.S.E.
	028	210°	S.S.O.
	029		E.S.E.
	031	160°	S.S.E.
	032	210°	S.S.O.
	033	210°	S.S.O.
	034		S.E.
	035	190°	S.
	036	70°	E.N.E.
	037	90°	E.
	038	180°	S.
	039	140°	S.E.
	040	130°	S.E.
	043		S.
	045	120°	E.S.E.
Saint-Sauveur-de-Cruzières	001	170°	S.
	002	90°	E.
	003	90°	E.
	004	180°	S.
	005	200°	S.S.O.
	006	190°	S.
	007	170°	S.
Courry	003	180°	S.
	004	100°	E.
	005	100°	E.
	007	120°	E.S.E.
	009	180°	S.
	010	100°	E.
	011	90°	E.
	013	100°	E.
	014	100°	E.
	015	160°	S.S.E.
	018	120°	E.S.E.

Commune	Dolmen	Azimut	Direction
	020	90°	E.
	021	120°	E.S.E.
	023		E.
Saint-Brès	001	160°	S.E.
	002	140°	S.E.
	003	130°	S.E.
	004	90°	E.
	005		S.E.
Barjac	Oeillantes 1	130°	S.E.
	Oeillantes 2	210°	S.S.O.
	Oeillantes 4	160°	S.S.E.
	Oeillantes 4 BIS	180°	S.
	Oeillantes 5		S.
	Serre de la Calade 2	110°	E.S.E.
	Serre de la Calade 3	160°	S.S.E.
	Devèze 1	270°	O.
	Devèze 2	220°	S.O.
	Devèze 3	230°	S.O.
Bouquet	Devèze 4	210°	S.S.O.
	Devèze 5	170°	S.
Bouquet	Serre Redon		S.O.
Méjannes Le Clap	Bouissas	220°	S.O.
	Carquignau 1	110°	E.S.E.
	Carquignau 2	140°	S.E.
	Carquignau 3	160°	S.S.E.
	Carquignau 4	90°	E.
	les Blaques	220°	S.O.
	Coumoulet	160°	S.S.E.
Rochegude	Piécourt 2		S.O.
	Piécourt 3	270°	O.
	les Charbonniers	240°	O.S.O.
	Le Tonnerre	240°	O.S.O.
	les Biaux	210°	S.S.O.
Seynes	La Citerne	230°	S.O.

Tableau 4 : orientation des dolmens du secteur Sud
Petits Causses

Commune	Dolmen	Azimuth	Direction
Aumelas	Lamouroux 2	240°	O.S.O.
	Lamouroux 1	240°	O.S.O.
Cazevieille	Roubiac 2	240°	O.S.O.
	Roubiac Grand-Juyan 1	240°	O.S.O.
	Roubiac 3	250°	O.S.O.
Claret	Pech Aurou 2	230°	S.O.
	Capucin 1	240°	O.S.O.
	Le Mas Neuf 3	240°	O.S.O.
	Le Mas Neuf 1	240°	O.S.O.
	Le Mas Neuf 4	250°	O.S.O.
	Capucin 2	280°	O.
	Pech Aurou 2	230°	S.O.
	La Limite	250°	O.S.O.
Ferrières les Verreries	Baume	210°	S.S.O.
	Bouisset 1	220°	S.O.
	Bouisset 2	230°	S.O.
	Le Serre de Bouisset	250°	O.S.O.
	Ferrières 1	280°	O.
	Baume	210°	S.S.O.
Frontignan	la Coste	240°	O.S.O.
Juvignac	Puech Rouquier	240°	O.S.O.
Mas de Londres- le Fesq	la Limite 1	230°	S.O.
	la Limite 2	230°	S.O.
Notre Dame de Londres	la Matte 2	210°	S.S.O.
	la Matte 1	230°	S.O.
Rouet	Lamalou	230°	S.O.
	Viala	240°	O.S.O.
	Marviel	240°	O.S.O.
	la Liquisse	240°	O.S.O.
	Bg de l'Hortus	240°	O.S.O.
	Feuilles 3 (inédit)	250°	O.S.O.
	Feuilles 2	260°	O.
	Feuilles 1	260°	O.
	Les Camps	260°	O.
	Juoilles (Fuoilles)	280°	O.
	la Bg du Lamalou 1	280°	O.
St Martin de Londres	Bg du Lamalou 2	240°	O.S.O.
	Le Frouzet 1	250°	O.S.O.
Valflaunès	Viastre	260°	O.
	Viastre	260°	O.
Argelliers	La Combe du Rat		S.O.
	Argelliers 1		O.S.O.
	Le Mas Andrieu		S.O.
	Le Mas de Cournon		S.O.
	Le lac Rouge		S.O.
	Signal de Puechabon		S.O.

Commune	Dolmen	Azimuth	Direction
Brissac	Métairie de la Croix 2	230°	S.O.
Causse de la Selle	Moustachou 3	230°	S.O.
	Le Lécou		S.S.O.
Puechabon	Montcalmès		S.S.O.
	Le Mas de Pouland 1		S.O.
	Le Mas de Pouland 2		O.S.O.
	Le Mas de Pouland 4		O.S.O.
	La Carrière d'Espinasse		S.O.
Vailhauquès	Mas Reinart 3	190°	S.
Viols-en-Laval	Cambous	280°	O.
Viols-le-Fort	Le Maupas	250°	O.S.O.
	Le Pouzet	240°	O.S.O.
	Soulas	260°	O.
	Le Devois de Rambion	240°	O.S.O.
	La Draille	240°	O.S.O.
	Les Matelettes	250°	O.S.O.

**Tableau 5 : orientation des dolmens du secteur Sud
Causse du Larzac et Lodévois**

Commune	Dolmen	Azimuth	Direction
Cabrières	Le Mougno	250°	O.S.O.
Sallèles du Bosc	Le Pigeonnier	220°	S.O.
St Etienne de Gourgas	la Roque 17	170°	S.
	la Roque 4	190°	S.
	la Roque 3	240°	O.S.O.
St Guiraud	St Guiraud	200°	S.S.O.
St Jean de la Blaquièrre	Les Isserts	240°	O.S.O.
St Pierre de la Fage	St Pierre de la Fage 1	230°	S.O.
	St Pierre de la Fage 2	230°	S.O.
St Privas	Le Bois de Marou	170°	S.
	Pioch Redon 2	210°	S.S.O.
	la Bruyère d'Usclas	190°	S.
	Pioch Redon 3	220°	S.O.
	Pioch Redon 1	270°	O.
St Saturnin	St Saturnin	210°	S.S.O.
Soumont	grandmont 1	210°	S.S.O.
	grandmont 2	210°	S.S.O.
Montpeyroux	Roquecourbe	260°	O.
	Cocalières	180°	S.
	Le Causse de la croix 1		S.S.O.
	La Croix de l'Yeuse 2		S.S.O.
Saint-André-de-Buèges	Le Mas Alexandre	240°	O.S.O.
	La Maline - Serane	240°	O.S.O.
Saint-Jean-de-Buèges	Pioch Narras 1	240°	O.S.O.
	Pioch Narras 2	240°	O.S.O.
Saint-Guilhem-le-Désert	Les Tières	230°	S.O.
	La Rigoule	230°	S.O.
	Le Mas de Tourreau 1	220°	S.O.
	Le Mas de Tourreau 2	220°	S.O.
	Le Mas de Tourreau 3	230°	S.O.
Saint-Maurice-Navacelles	La Prunarède 1	180°	S.
	La Prunarède 2	230°	S.O.
	Le Rancas 1		S.S.O.
	La Bergerie du Coulet	210°	S.S.O.
	Le Bos Gros		O.S.O.
	Le Devézas	220°	S.O.
	Roustidou 1		S.O.
	Roustidou 2		S.O.
	Jasse Nove 1		O.S.O.
	Le Mas de Gay	210°	S.S.O.
	Soulagets 3	160°	S.S.E.
	Soulagets 4	190°	S.
La Vacquerie	Le Viala 4	180°	S.
	Saint Martin d'Azirou		S.O.
	Ferrussac 4	240°	O.S.O.

Commune	Dolmen	Azimuth	Direction
	Ferrussac 5	240°	O.S.O.
	Ferrussac 1	190°	S.
	Le Mas de Figuières 1		S.S.O.
	La Jasse de Canaguier		S.S.O.
	La Vernède		S.
	Le Mas de Jourdes 2	220°	S.O.
	Le Mas de Jourdes 3	220°	S.O.

Tableau 6 : synthèse de l'orientation des dolmens du secteur Nord

	N.B. dolmens	%
N.	0	-
N.N.E.	0	-
N.E.	0	-
E.N.E.	3	1,7
E.	40	22,9
E.S.E.	25	14,3
S.E.	22	12,6
S.S.E.	13	7,4
S.	42	24,0
S.S.O.	15	8,6
S.O.	9	5,1
O.S.O.	2	1,1
O.	4	2,3
O.N.O.	0	-
N.O.	0	-
N.N.O.	0	-
	175	100

	N.B. dolmens	%
0°	0	-
10°	0	-
20°	0	-
30°	0	-
40°	0	-
50°	0	-
60°	1	0,6
70°	2	1,3
80°	2	1,3
90°	21	13,3
100°	15	9,5
110°	10	6,3
120°	17	10,8
130°	6	3,8
140°	7	4,4
150°	2	1,3
160°	12	7,6
170°	8	5,1
180°	22	13,9
190°	7	4,4
200°	3	1,9
210°	11	7,0
220°	3	1,9
230°	3	1,9
240°	2	1,3
250°	0	-
260°	0	-
270°	4	2,5
280°	0	-
290°	0	-
300°	0	-
310°	0	-
320°	0	-
330°	0	-
340°	0	-
350°	0	-
	158	100

Tableau 7 : synthèse de l'orientation des dolmens du secteur Sud

	N.B. dolmens	%
N.	0	-
N.N.E.	0	-
N.E.	0	-
E.N.E.	0	-
E.	0	-
E.S.E.	0	-
S.E.	0	-
S.S.E.	1	0,9
S.	11	9,6
S.S.O.	17	14,9
S.O.	33	28,9
O.S.O.	39	34,2
O.	13	11,4
O.N.O.	0	-
N.O.	0	-
N.N.O.	0	-
	114	100

	N.B. dolmens	%
0°	0	-
10°	0	-
20°	0	-
30°	0	-
40°	0	-
50°	0	-
60°	0	-
70°	0	-
80°	0	-
90°	0	-
100°	0	-
110°	0	-
120°	0	-
130°	0	-
140°	0	-
150°	0	-
160°	1	1,1
170°	2	2,2
180°	3	3,3
190°	5	5,5
200°	1	1,1
210°	9	9,9
220°	8	8,8
230°	15	16,5
240°	25	27,5
250°	9	9,9
260°	7	7,7
270°	1	1,1
280°	5	5,5
290°	0	-
300°	0	-
310°	0	-
320°	0	-
330°	0	-
340°	0	-
350°	0	-
	91	100

Tableau 8 : synthèse de l'orientation des dolmens des petits causses

	N.B. dolmens	%
N.	0	-
N.N.E.	0	-
N.E.	0	-
E.N.E.	0	-
E.	0	-
E.S.E.	0	-
S.E.	0	-
S.S.E.	0	-
S.	1	1,6
S.S.O.	5	8,1
S.O.	17	27,4
O.S.O.	28	45,2
O.	11	17,7
O.N.O.	0	-
N.O.	0	-
N.N.O.	0	-
	62	100

	N.B. dolmens	%
0°	0	-
10°	0	-
20°	0	-
30°	0	-
40°	0	-
50°	0	-
60°	0	-
70°	0	-
80°	0	-
90°	0	-
100°	0	-
110°	0	-
120°	0	-
130°	0	-
140°	0	-
150°	0	-
160°	0	-
170°	0	-
180°	0	-
190°	1	2,0
200°	0	-
210°	3	6,0
220°	1	2,0
230°	9	18,0
240°	17	34,0
250°	8	16,0
260°	6	12,0
270°	0	-
280°	5	10,0
290°	0	-
300°	0	-
310°	0	-
320°	0	-
330°	0	-
340°	0	-
350°	0	-
	50	100

Tableau 9 : synthèse de l'orientation des dolmens des Grands Causses

	N.B. dolmens	%
N.	0	-
N.N.E.	0	-
N.E.	0	-
E.N.E.	0	-
E.	0	-
E.S.E.	0	-
S.E.	0	-
S.S.E.	1	1,9
S.	10	19,2
S.S.O.	12	23,1
S.O.	16	30,8
O.S.O.	11	21,2
O.	2	3,8
O.N.O.	0	-
N.O.	0	-
N.N.O.	0	-
	52	100

	N.B. dolmens	%
0°	0	-
10°	0	-
20°	0	-
30°	0	-
40°	0	-
50°	0	-
60°	0	-
70°	0	-
80°	0	-
90°	0	-
100°	0	-
110°	0	-
120°	0	-
130°	0	-
140°	0	-
150°	0	-
160°	1	2,4
170°	2	4,9
180°	3	7,3
190°	4	9,8
200°	1	2,4
210°	6	14,6
220°	7	17,1
230°	6	14,6
240°	8	19,5
250°	1	2,4
260°	1	2,4
270°	1	2,4
280°	0	-
290°	0	-
300°	0	-
310°	0	-
320°	0	-
330°	0	-
340°	0	-
350°	0	-
	41	100

**TABLEAU 10 : Inventaire des objets de parure retrouvés dans les sépultures du secteur Sud
et tentative pour caler ces objets dans la chronologie du Néolithique final (d'après les travaux d'H. Barge (1982))**

COMMUNE	DOLMEN	CHRONOLOGIE								MOBILIER	
		Néolithique Final			Chalcolithique / Age du Bronze						
		Saint-Po.	Les Treil.	Ferr.	Fontb.	Campa.	B. A.	B. M.			
Argelliers	Argelliers 1									1 pendeloque elliptique T3 en calcite blanche translucide	
										1 perle discoïde en stéatite	
										1 tesson campaniforme	
	La Combe du Rat									1 perle discoïde en calcaire	
										1 perle ovoïde T2 en cuivre	
										12 dentale	
										1 perle discoïde en test	
										1 bouton de Durfort en calcaire	
	Le Lac Rouge									1 canine de canidé percée	
Brissac	Roucayrol (niveau inf.)									1 perle discoïde en stéatite	
										1 alène losangique bipointe	
										1 tesson à décor Saint-Vérdème	
										3 perle discoïde en calcaire	
										2 perle discoïde en roche verte	
										1 perle discoïde en calcaire	
										2 perle biconique T2 en calcaire	
										12 perle discoïde en calcite ambre	
										2 perle discoïde en cuivre	
										4 perle ovoïde T1 en cuivre	
Causse de la Selle	Moustachou 3									1 incisive de canidé percée	
										8 perle discoïde en stéatite	
										1 perle ovoïde T2 en stéatite	
										12 perle discoïde en callais	
										12 perle discoïde en roche verte	
	Le Lécou									52 perle discoïde en test	
										20 perle biconique facétée en stéatite	
										4 perle discoïde en roche verte	
										72 perle discoïde en test	
										16 perle ovoïde T1 en os	

COMMUNE	DOLMEN	CHRONOLOGIE								MOBILIER	
		Néolithique Final			Chalcolithique / Age du Bronze						
		Saint-Po.	Les Treil.	Ferr.	Fontb.	Campa.	B. A.	B. M.			
Saint-Maurice-Nav.	Jasse Nove 1									armature de flèche assymétrique	
	La Prunarède 1									1 céritium percé	
										1 dentale	
										X perle discoïde en test	
										1 palette de schiste polie	
	Le Rancas 1									1 armature en bronze	
										1 perle discoïde en calcaire	
										4 pendeloques en griffe en jayet	
										1 perle biconique T1 en lignite	
										1 pendeloque elliptique T3 en calcite ambrée	
La Vacquerie	Ferrussac 4									2 pendeloque à coche en os	
										15 perle discoïde en stéatite	
										1 canine de canidé percée	
										20 huméros de lapin	
										28 perle discoïde en calcaire	
										1 perle ovoïde T2 en jayet	
										1 pendeloque en crochet biforée T3 en os	
										4 pendeloque à ailettes en calcaire	
										4 perle discoïde en calcite ambrée	
										1 pendeloque à coche en os	
										3 planorbe fossile	
										1 pendeloque en griffe en os	
										2 perle discoïde en cuivre	
										11 canine de canidé percée	
										3 perle cylindrique en roche verte	
										1500 perle discoïde en stéatite	
										1 perle discoïde en test	
										2 pendeloque en test	
										1 alène losangique bipointe	
										1 bouton perforé en tortue perforé en V en os	
										10 bouton perforé hémisphérique en V en os	
										1 nassa	
										23 colombelle	
										1 conus	
										7 perle ovoïde T1 en os	
										2 perle biconique T1 en os	
										5 perle à gorge en os	
										1 disque biconvexe à perforation centrale en os	

COMMUNE	DOLMEN	CHRONOLOGIE								MOBILIER	
		Néolithique Final			Chalcolithique / Age du Bronze						
		Saint-Po.	Les Treil.	Ferr.	Fontb.	Campa.	B. A.	B. M.			
Viols-le-Fort	Soulas									6 perle discoïde en calcite	
										6 perle cylindrique en calcite	
										1 perle biconique T1 en jayet	
										3 pendeloques en griffe en jayet	
										1 pendeloque objet en jayet	
										1 perle à renflement médian en jayet	
										2 pendeloque à ailettes en calcaire	
										73 pendeloque à coche en os	
										17 pendeloque à pointe T2 en calcaire	
										18 pendeloque à pointe T1 striée en os	
										12 perle ovoïde T2 en roche verte	
										7 perle ovoïde T1 en roche verte	
										2 perle discoïde en cuivre	
										1 perle ovoïde T1 en cuivre	
										5 perle ovoïde T2 en cuivre	
										1 perle biconique T2 en cuivre	
										2 alène losangique bipointe	
										3 canine de canidé percée	
										445 perle discoïde en stéatite	
										4 perle discoïde en jayet	
										1 perle discoïde en callais	
										2 perle biconique T2 en roche verte	
										1 perle biconique T2 en os	
										1 perle à renflement médian en roche verte	
	La Draille									1 perle ovoïde T2 en lignite	
										1 perle discoïde en calcaire	
										1 perle cylindrique en calcite	
										4 perle discoïde en stéatite	
										1 pendeloque à coche en os	
										1 canine de canidé percée	
										1 perle cylindrique à rétrécissement médian en calcite	
										2 pendeloque en test	
										3 perle à gorge en os	
										3 perle cylindrique en os	
										2 épingle à tête ovoïde percée en bronze	

TABLEAU 11 : Les éléments de parures recensés dans les sépultures du secteur Sud;
tentative pour les caler dans la chronologie du Néolithique final proposée par J. Cauliez (2009).

COMMUNE	DOLMEN	NEO RECENT	PHASE 0	PHASE 1	PHASE 2	PHASE 3	Bronze Ancien
		3700 -3400 av. J.C.	3400-2900 av. J.C.	2900-2550 av. J.C.	2600-2350 av J.C.	2400-1900 av. J.C.	
Argelliers	Argelliers 1			pendeloque elliptique			
	La Combe du Rat			perle en cuivre			
				bouton de Durfort			
	Le Lac Rouge		dent de canidé percée			perle en test	
Brissac	Roucayrol						
			dent de canidé percée				
			perle en cuivre			perle en test, perle en os	
Causse de la selle	Moustachou 3			pendeloque à ailette, pendeloque à pointe			colombelle, conus
	Le Lécou					pendeloque en test, perle en test	disque à perf. centrale
						pendeloque en test, perle en test	
Montpeyroux	Causse de la Croix 1			pendeloque à pointe			palette de schiste
Puechabon	Montcalmès			dent de suidé percée		perle en test	
	Le Pioch de la Galine						épingle en bronze
Saint Guilhem le Désert	La Rigoule			pendeloque elliptique, perle en plomb			
				dent de canidé percée		perle en test	
				pendeloque à pointe			

COMMUNE	DOLMEN	NEO RECENT	PHASE 0	PHASE 1	PHASE 2	PHASE 3	Bronze Ancien
		3700 -3400 av J.C.	3400-2900 av. J.C.	2900-2550 av. J.C.	2600-2350 av J.C.	2400-1900 av. J.C.	
Saint Maurice Navacelles	Bos Gros					pendeloque en test	
	Les Besses		dent de canidé percée, dent de suidé percée				épingle en bronze
	Le Devézas		dent de canidé percée			perle en test, perle en os, palette de schiste	
	La Prunarède 1					perle en test, palette de schiste	
	Le Rancas 1		dent de canidé percée pendeloque en griffe en jayet, pendeloque elliptique, pendeloque à coche				
	Ferrussac 4	humerus de lapin perforé, dent de canidé percée pendeloque en crochet biforée, pendeloque à ailette, pendeloque à coche, perle en cuivre		planorbe fossile, pendeloque griffe en os alène bipointe		bouton perforé en V en os perle en test, pendeloque en test, perle en os colombelle, conus, nassa	
La Vacquerie							disque à perf. Centrale
	Le Mas de Jourdes 2	dent de canidé percée pendeloque elliptique, pendeloque à ailette, pendeloque à pointe				perle en test, perle en os colombelle	
Vailhauquès	Le Mas Reinart 3	dent de canidé percée pendeloque à ailette				perle en test, perle en os	

COMMUNE	DOLMEN	NEO RECENT	PHASE 0	PHASE 1	PHASE 2	PHASE 3	Bronze Ancien
		3700 -3400 av J.C.	3400-2900 av. J.C.	2900-2550 av. J.C.	2600-2350 av J.C.	2400-1900 av. J.C.	
Viols le Fort	Le Maupas		dent de canidé percée pendeloque à ailette, pendeloque à coche, pendeloque à pointe				
	Le Pouzet		dent de canidé percée pendeloque à pointe, pendeloque à ailette		alène bipointe		
	Soulas	pendeloque objet en jayet, dent de canidé percée perle en jayet, pendeloque en griffe en jayet, pendeloque à ailette, pendeloque à coche, pendeloque à pointe, perle en cuivre				perle en os	
	La Draille	dent de canidé percée pendeloque à coche		alène bipointe		perle en os	épingle en bronze

**TABLEAU 12 : Les armatures de flèches recensées dans les sépultures du secteur Sud;
tentative pour les caler dans la chronologie du Néolithique final proposée par J. Cauliez (2009).**

COMMUNE	DOLMEN	NEO RECENT	PHASE 0	PHASE 1	PHASE 2	PHASE 3	Bronze Ancien
		3700 -3400 av. J.C.	3400-2900 av. J.C.	2900-2550 av. J.C.	2600-2350 av J.C.	2400-1900 av. J.C.	
Argelliers	La Combe du Rat Le Lac Rouge Le Mas de Cournon			armature foliacée et losangique armature foliacée armature foliacée			
Brissac	Roucayrol (niveau sup.)			armature losangique		armature à pédoncule et ailerons dégagés	
Le Cros	buisseries 2	armature déjetée					
Montpeyroux	Le Causse de la Croix 1			armature losangique			
Notre Dame de Londre	ricome 4	armature déjetée					
Puechabon	Montcalmès Montcalmès 2 Le Pioch de la Galine			armature losangique armature foliacée armature losangique			
Saint Jean de Buèges	puech narras 2			armature losangique		armature à pédoncule et ailerons peu dégagés	
Saint Jean de la Blaquière	les isserts					armature à pédoncule et ailerons peu dégagés	
Saint Guilhem le désert	La Rigoule			armature foliacée et losangique			
Saint maurice Navacelles	Le Devézas			armature foliacée et losangique			
	Jasse Nove 1	armature déjetée					
	jasse nove 2			armature foliacée			
	La Prunarède 1						armature en bronze
Saint Pierre de la Fage	la roque 9	armature déjetée					
Saint Privat	bruyere d'usclas 1			armature foliacée		armature à pédoncule et ailerons peu dégagés	

		NEO RECENT	PHASE 0	PHASE 1	PHASE 2	PHASE 3	Bronze Ancien
COMMUNE	DOLMEN	3700 -3400 av J.C.	3400-2900 av. J.C.	2900-2550 av. J.C.	2600-2350 av J.C.	2400-1900 av. J.C.	
La Vaquerie	Ferrussac 4			armature losangique			
	mas de figuière 2					armature à pédoncule et ailerons peu dégagés	
	Le Mas de Jourdes 2			armature foliacée		armature à pédoncule et ailerons peu dégagés	
Vailhauquès	Le Mas Reinart 3			armature losangique			
Viols le Fort	Le Pouzet			armature foliacée et losangique			
	Soulas			armature foliacée			
	La Draille			armature foliacée et losangique		armature à pédoncule et ailerons peu dégagés	